

Mecanica dei Robot

Docente : Ing. Marco Gabicci (Dimnp)

Ricevimento : Giovedì pomeriggio 15 - 14.30 , Dimnp , v piano

tel. ufficio 050 - 221.80.77 ; email: m.gabicci@ing.unipi.it

Contenuti del corso :

•) analisi di posizione ed orientazione:

(anche detta postura o posa)

esprimere rotazioni 3D generiche e rototraslazioni di corpo rigido nello spazio, parametrizzazione di rotazioni, trasformazioni, convenzione di Denavit-Hartenberg, cinematica diretta ed inversa

•) cinematica (differenziale) :

da conoscere di meccanica (pre-requisiti) es. ff. cinematica, teo. Rivals, teorema di composizione $\underline{\underline{w}} = \underline{\underline{v}}$ (veloc.) ed $\underline{\underline{a}} = \underline{\underline{g}}$ (acceleraz.) studiamo al caso generale usando un formalismo adeguato.

•) statica : pre-requisito di meccanica (eq. sistemi di corpi rigidi) con equi correttivi, principio dei lavori virtuali per arrivare a formulazioni compatte e sistematiche.

•) dinamica : da equi di Newton - Eulero, Euler - Lagrange (orma da principio dei Lavori Virtuali Dinamico). Forme tipiche della dinamica di catene cinematiche seriali $B\ddot{q} + C\dot{q} + G = \underline{\underline{f}}$. Equi di sistemi con vincoli (orma catene cinematiche chiuse) e varie tecniche per la loro trattazione.

Alla fine del corso lo studente sarà in grado di modellare (orma scrivere le equi che regolano la dinamica e sapere attaccare con tecniche di integrazione numerica) qualsiasi tipo di robot, nella sua occasione più ampia (veicoli su ruote, veicoli su gambe, velivoli, satelliti, robot seriali, paralleli, mani robotiche etc.)

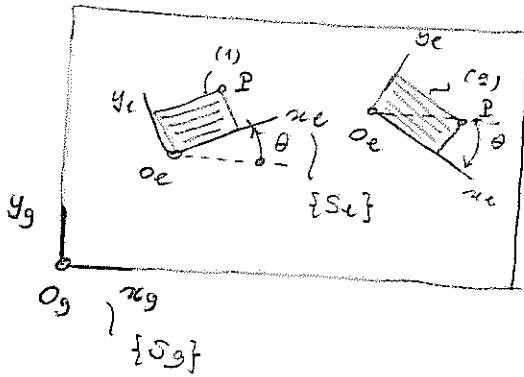
Test di riferimento :

- B. Siciliano, L. Sciavicco, L. Villani, G. Oriolo "Robotica : modellistica, pianificazione e controllo" 3a ed. McGraw-Hill 2008
- Jpong, Hutchinson, Vidyaraghavan "Robot Modeling and Control" Wiley
- Murray, Li, Sastry "A Mathematical Intro. to Robotic Manipulation", CRC press

- o) J. Angeles "Fundamentals of Robotic Mechanical Systems: theory, methods and algorithms", Springer, 2a edizione
- o) Lung - Wai Tsui "Robot Analysis: the mechanics of serial and parallel manipulators", Wiley - Interscience.
 - Studio della postura di un corpo rigido -

Gradi di libertà: no. di movimenti - rotazioni e/o traslazioni - che il corpo rigido può compiere (corpo rigido = c.r.) = no di informazioni da dare per individuare univocamente la postura
- o) nel 2D: devo dare posizione di un punto (x, y) e una rotazione θ rispetto ad una direzione nota
- o) nel 3D: devo dare posizione di un punto (x, y, z) e tre angoli (o. angoli di Euler $[y, \theta, z]$ vedremo meglio in seguito)

Ese. libri sulla poltrona



Procedura

1) Si definisce un sistema di rif. globale
 $\{Sg\} = \{Og; x_g, y_g, z_g\}$ (fisso)

2) \Rightarrow $\{Sg\} = \{Oe; xe, ye, ze\}$ (solidale al corpo)

Note bene: dato che il corpo è RIGIDO, in questo sistema di riferimento le componenti sono costanti.

Prima questione: se conosco le coordinate di un punto P in $\{Sg\}$, quali coordinate vedo un osservatore in $\{Sg\}$?

Ora se conosco (es. nel 2D) la $p_e = \begin{bmatrix} x_e \\ y_e \end{bmatrix}$ come calcolo $p_g = \begin{bmatrix} x_g \\ y_g \end{bmatrix}$?

Ora quindi definire una trasformazione di coordinate.
 Facciamo questo caso 2D con sola rotazione, poi estenderemo anche al 3D ed a traslazioni.

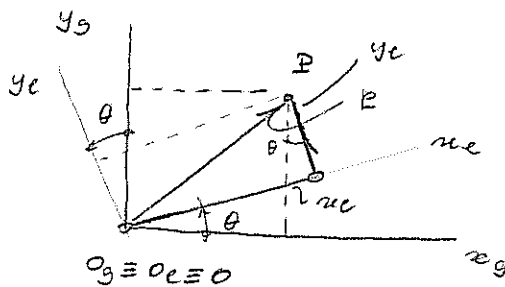
Fissiamo la notazione: P è un punto (generico)

$O \equiv Og \equiv Oe$ origini dei sistemi di riferimento (punti)

$OP = P - O \stackrel{def}{=} p$ (uguale x definizione, anche
 $p := OP = P - O$

Questo \underline{p} è vettore posizione del punto P .

o. sulla rotazione 2D



$$[\underline{P}]_g = \text{comp di } \underline{p} \text{ in } \{S_g\}$$

$$[\underline{P}]_g = \text{coordinate di } P \text{ in } \{S_g\}$$

Nota bene che fra punti e vettori si scrive

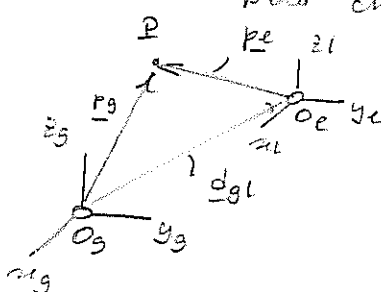
$$\underline{P} = \underline{O} + \underline{p} \quad (\text{deriva dalla definizione } \underline{P} := \underline{OP} = \underline{P} - \underline{O})$$

Se applico l'operatore $[\cdot]_g$ ottengo:

$$[\underline{P}]_g = [\underline{O}]_g + [\underline{p}]_g \quad \text{ma } \underline{O} = \underline{O}_g \Leftrightarrow [\underline{O}_g]_g = \begin{bmatrix} 0 \\ 0 \end{bmatrix} \text{ da cui}$$

quindi se \underline{p} è spiccato dall'origine di $\{S_g\}$
le coord del punto P sono uguali alle compone.
del vettore

Alturamente basta che se ho shift (boostment) dell'origine allora
fra punti siamo a scrivere:



consideriamo che
 $\{S_e\} \subset \{S_g\}$ danno

parallelamente

$$[\underline{P}]_g = [\underline{p}_g]_g$$

Dunque in generale le coordinate del punto sono diverse dalle
componenti del vettore posizionale. Sono uguali f.e.s. se ci si
appoggia a punti che è origine del sistema di riferimento
delle (2) togliendo O_g :

$$\underline{P} - \underline{O}_g = \underline{O}_e - \underline{O}_g + \underline{p}_e$$

\underline{p}_g \underline{d}_{ge} \underline{p}_e

Definisco una sorta di "operatore"
 $[\cdot]_g$, che estrae le componenti di
un vettore \underline{p} tra in ingresso in un
sistema di riferimento $\{S_g\}$.

Questo operatore ha anche unico
"sovraccarico" (overloaded) e prende
in ingresso punti e restituisce le
loro coordinate

$$[\underline{P}]_g = [\underline{O}_g]_g + [\underline{p}_g]_g \quad [\underline{P}]_g = [\underline{O}_e]_g + [\underline{p}_e]_g$$

anche relazione tutta fra vettori,
ma differente fra punti

Da analisi delle figure b.3 in alto

$$\underline{P} = \underline{p} + \underline{o}_g$$

$$\underline{o}_g \equiv \underline{o}_e \equiv \underline{0}$$

$$[\underline{p}]_e = \begin{bmatrix} x_e \\ y_e \end{bmatrix} \quad ; \quad [\underline{p}]_g = \begin{bmatrix} x_g \\ y_g \end{bmatrix}$$

$$x_g = x_e \cos \theta - y_e \sin \theta$$

$$y_g = x_e \sin \theta + y_e \cos \theta$$

$$\begin{bmatrix} x_g \\ y_g \end{bmatrix} = \begin{bmatrix} \cos \theta & -\sin \theta \\ \sin \theta & \cos \theta \end{bmatrix} \begin{bmatrix} x_e \\ y_e \end{bmatrix}$$

ora

$$[\underline{p}]_g = R_{ge} [\underline{p}]_e$$

$$\text{con, in questo caso, } R_{ge} = R_{2D}(\theta) := \begin{bmatrix} \cos \theta & -\sin \theta \\ \sin \theta & \cos \theta \end{bmatrix}$$

Quindi adesso stiamo considerando come uno stesso vettore abbia componenti diverse in differenti sistemi di riferimento.

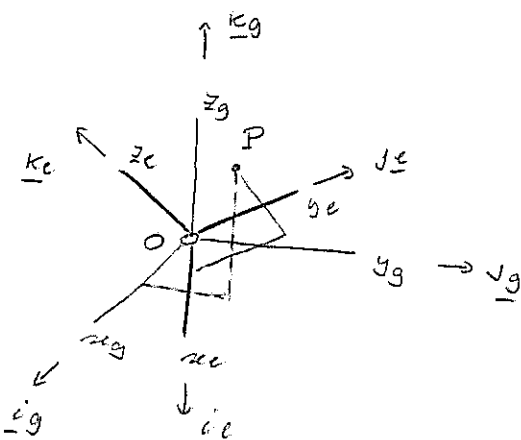
A destra consideriamo il caso di rotazione 3D generale

-) stabiliscono un punto P nello spazio Euclideo \mathbb{E}^3 ;
-) scelto un punto O , definiscono un vettore $\underline{p} \triangleq P - O$;
-) introducono 2 frame (sistemi di riferimento) ortogonali di origine comune $O_g \equiv O_e \equiv O$ con $\{\underline{s}_g\} = \{O; x_g, y_g, z_g\} \subset \{\underline{s}_e\} = \{O; x_e, y_e, z_e\}$, i due sistemi di riferimento hanno versori $\{\underline{i}_g, \underline{j}_g, \underline{k}_g\}$ e $\{\underline{i}_e, \underline{j}_e, \underline{k}_e\}$.

Pomo scrivere che:

$$\underline{p} = x_g \underline{i}_g + y_g \underline{j}_g + z_g \underline{k}_g = x_e \underline{i}_e + y_e \underline{j}_e + z_e \underline{k}_e \quad (1)$$

nota bene che tutti deve combaciare (componenti e versori) perché tutto rimanga uguale



Tramite la trasformazione
che lega le componenti
 $[\underline{p}]_g$ alle componenti $[\underline{p}]_e$

$$\text{Ricordiamoci che } \underline{a} \cdot \underline{b} = \|\underline{a}\| \|\underline{b}\| \cos \theta \text{ e per } \underline{a} \cdot \underline{b} = 0 \text{ se } \theta = \pi/2.$$

Ricordiamoci inoltre che le tasse $\{\underline{s}_g\} \subset \{\underline{s}_e\}$ sono ortogonali, ovvero

$$\underline{i}_g \cdot \underline{j}_g = \underline{j}_g \cdot \underline{k}_g = \underline{k}_g \cdot \underline{i}_g = 0 \quad e \quad \underline{i}_g \cdot \underline{i}_g = \underline{j}_g \cdot \underline{j}_g = \underline{k}_g \cdot \underline{k}_g = 1$$

Akkorde mit platonischen Schallmuster (1) bei $\underline{\text{ig}}$, $\underline{\text{ig}} + \underline{\text{kg}}$ in ha

$$\underline{P} \cdot \underline{i}_g = \underline{\omega}_g = \underline{i}_g \cdot \underline{\omega}_{ce} \underline{\omega}_c + \underline{i}_g \cdot \underline{\omega}_{ge} \underline{\omega}_g + \underline{i}_g \cdot \underline{\omega}_{ee} \underline{\omega}_e$$

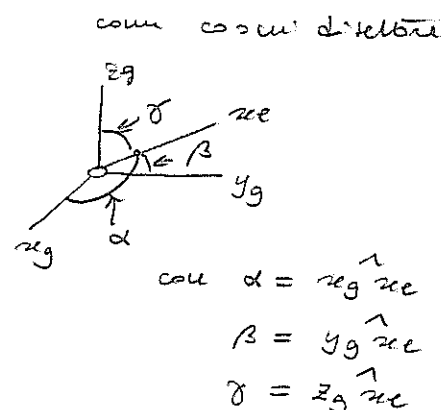
$$b \cdot \underline{y}_g = y_g = \underline{y}_g \cdot ie_{ze} + \underline{y}_g \cdot je_{ye} + \underline{y}_g \cdot ke_{ze}$$

$$P \cdot k_g = x_g = k_g \cdot i_e x_e + k_g \cdot j_e y_e + k_g \cdot k_e z_e$$

da cui in base alle definizioni

$$[\underline{b}]_g = \begin{bmatrix} \underline{i}g \cdot \underline{ie} \\ \underline{ig} \cdot \underline{ie} \\ \underline{kg} \cdot \underline{ie} \end{bmatrix} \begin{bmatrix} \underline{i}g \cdot \underline{je} \\ \underline{ig} \cdot \underline{je} \\ \underline{kg} \cdot \underline{je} \end{bmatrix} \begin{bmatrix} \underline{i}g \cdot \underline{ke} \\ \underline{ig} \cdot \underline{ke} \\ \underline{kg} \cdot \underline{ke} \end{bmatrix} \begin{bmatrix} \underline{b} \end{bmatrix}_e$$

↑ ↑ ↑
 comp. di ie comp. di je comp. di ke
 in {fgf} in {fgf} in {fgf}



$$\begin{bmatrix} \cos(\alpha_g^z \omega_e) & \cos(\alpha_g^y \omega_e) & \cos(-\alpha_g^x \omega_e) \\ \cos(\gamma_g^z \omega_e) & \cos(\gamma_g^y \omega_e) & \cos(\gamma_g^x \omega_e) \\ \cos(\beta_g^z \omega_e) & \cos(\beta_g^y \omega_e) & \cos(\beta_g^x \omega_e) \end{bmatrix}$$

Per lavorare di un modo compatibile possono definire:

$\mathcal{C} = [x \downarrow E]$ come de base în forma "invariante" și în hărțile

$$\tilde{z}_g = [\tilde{z}_g \quad \underline{z}_g \quad \overline{z}_g] \quad \text{di} \quad \{ z_g \}$$

$$e_{\omega} = [i_e \ j_e \ k_e] \text{ di } \{S_e\}$$

consigli para sacarre la (1) de modo compacto como

$$\underline{P} = \sum_{k=0}^{\infty} [P]_k e^k \quad (2)$$

Se si mette a punto un per $\frac{eg}{ng}^T$ entrambi i membri della eq. (2) si ha:

$$\left[\begin{array}{c} \mathbf{e}_g \\ \mathbf{e}_g^T \end{array} \right]_g = \left[\begin{array}{c} \mathbf{e}_g \\ \mathbf{e}_g^T \end{array} \right]_e$$

cos è sono?

$$e_g^T = \begin{bmatrix} e_g \\ \underline{e}_g \\ \underline{\underline{e}}_g \end{bmatrix} \begin{bmatrix} e_g & \underline{e}_g & \underline{\underline{e}}_g \end{bmatrix} = \begin{bmatrix} e_g^T e_g & e_g^T \underline{e}_g & e_g^T \underline{\underline{e}}_g \\ \underline{e}_g^T e_g & \underline{e}_g^T \underline{e}_g & \underline{e}_g^T \underline{\underline{e}}_g \\ \underline{\underline{e}}_g^T e_g & \underline{\underline{e}}_g^T \underline{e}_g & \underline{\underline{e}}_g^T \underline{\underline{e}}_g \end{bmatrix} = I \in \mathbb{R}^{3 \times 3}$$

L'altra invece risulta essere:

$$\underline{\underline{e}}_g^T \underline{\underline{e}}_e = \begin{bmatrix} \underline{i}_g^T \\ \underline{j}_g^T \\ \underline{k}_g^T \end{bmatrix} [\underline{i}_e \quad \underline{j}_e \quad \underline{k}_e] = \begin{bmatrix} \underline{i}_g^T \underline{i}_e & \underline{i}_g^T \underline{j}_e & \underline{i}_g^T \underline{k}_e \\ \underline{j}_g^T \underline{i}_e & \underline{j}_g^T \underline{j}_e & \underline{j}_g^T \underline{k}_e \\ \underline{k}_g^T \underline{i}_e & \underline{k}_g^T \underline{j}_e & \underline{k}_g^T \underline{k}_e \end{bmatrix} =: R_{ge}$$

ora $\underline{\underline{e}}_g^T \underline{\underline{e}}_e = R_{ge}$ e la proiezione della base $\underline{\underline{e}}_e$ sulla base $\underline{\underline{e}}_g$.

Quindi quello che si ha è:

$$[\underline{\underline{b}}]_g = \underline{\underline{e}}_g^T \underline{\underline{e}}_e [\underline{\underline{b}}]_e = R_{ge} [\underline{\underline{b}}]_e$$

Attenzione che se invece proiettavo $\underline{\underline{e}}_g$ su $\underline{\underline{e}}_e$ avrei ottenuto

$$[\underline{\underline{b}}]_e = \underline{\underline{e}}_e^T \underline{\underline{e}}_g [\underline{\underline{b}}]_g = R_{eg} [\underline{\underline{b}}]_g$$

dove $\underline{\underline{e}}_e^T \underline{\underline{e}}_g = \begin{bmatrix} \underline{i}_e^T \\ \underline{j}_e^T \\ \underline{k}_e^T \end{bmatrix} [\underline{i}_g \quad \underline{j}_g \quad \underline{k}_g] = \begin{bmatrix} \underline{i}_e^T \underline{i}_g & \underline{i}_e^T \underline{j}_g & \underline{i}_e^T \underline{k}_g \\ \underline{j}_e^T \underline{i}_g & \underline{j}_e^T \underline{j}_g & \underline{j}_e^T \underline{k}_g \\ \underline{k}_e^T \underline{i}_g & \underline{k}_e^T \underline{j}_g & \underline{k}_e^T \underline{k}_g \end{bmatrix} = R_{eg}$

è evidente che $R_{eg} = R_{ge}^{-1} = R_{ge}^T$

Osservazione:

- 1) Dato che $R_{eg} = R_{ge}^{-1} = R_{ge}^T$, ora $R^{-1} = R^T$, ciò significa che la matrice R è una matrice ortogonale $RR^T = R^TR = I$ (osservazione che non tutte le matrici ortogonali sono rotazioni, anche le riflessioni sono ortogonali)

- 2) La matrice $R_{ge} = \overbrace{I}^{\text{colonne}} [\underline{i}_e]_g \quad \overbrace{[\underline{j}_e]_g}^{\text{colonne}} \quad \overbrace{[\underline{k}_e]_g}^{\text{colonne}}$

- 3) La condizione (ulteriore) da richiedere perché la terna sia levigata è che $\underline{i}_e \times \underline{j}_e = \underline{k}_e$
che in componenti risulta

$$[\underline{i}_e]_g \times [\underline{j}_e]_g = [\underline{k}_e]_g \quad - \text{se adesso moltiplico scalarmen-} \\ \text{te per } [\underline{k}_e]_g \text{ si ha}$$

$$(\checkmark [\underline{i}_e]_g \times [\underline{j}_e]_g) \cdot [\underline{k}_e]_g = [\underline{k}_e]_g \cdot [\underline{k}_e]_g = \pm$$

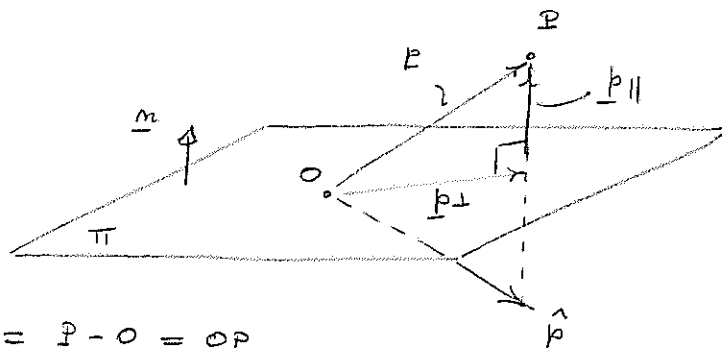
ma questo prodotto misura $a \times b \cdot c = \det(I_a \ b \ c)$ è equivalente all'insieme del determinante delle matrice che ha come colonne a, b, c

Allora la ulteriore condizione è che

$$[\underline{I} \underline{e}]_g \times [\underline{J} \underline{e}]_g = \det(R_{ge}) = 1$$

Quindi la ulteriore condizione che $\det(R) = 1$ è quella che discrimina le sole rotazioni.

S. excusus sulla riflessione



Consideriamo vettore $\underline{p} := \underline{P} - \underline{O} = \underline{OP}$

vettore \underline{m} è normale al piano π

Decomposizione: $\underline{p} = \underline{p}_{\parallel} + \underline{p}_{\perp}$ con $\underline{p}_{\parallel}$ parallelo ad \underline{m}

$$\begin{aligned} \underline{p}_{\parallel} &= (\underline{p} \cdot \underline{m}) \underline{m} = & \underline{p}_{\perp} & \text{perpend. ad } \underline{m} \text{ (ostra sul} \\ &= \underline{m} (\underline{m}^T \underline{p}) = (\underline{m} \underline{m}^T) \underline{p} & & \text{piano)} \end{aligned}$$

$$\therefore \underline{p}_{\perp} = \underline{p} - \underline{p}_{\parallel} = (\underline{I} - \underline{m} \underline{m}^T) \underline{p}$$

$$\text{ii) } \hat{\underline{p}} \text{ (riflesso)} = \underline{p}_{\perp} - \underline{p}_{\parallel} = (\underline{I} - 2\underline{m} \underline{m}^T) \underline{p}$$

Allora la matrice di riflessione H è data da

$$H = (\underline{I} - 2\underline{m} \underline{m}^T) \quad \text{n.b. che } H = H^T$$

Anche H è ortogonale $H^{-1} = \frac{\underline{H}}{\underline{H}}$ (se ci si moltiplica 2 volte si torna identici)

Verifica che $H^{-1} = H$ ovvero che $H^{-1} H = H H = \underline{I}$

Allora:

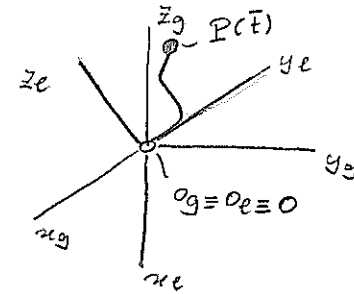
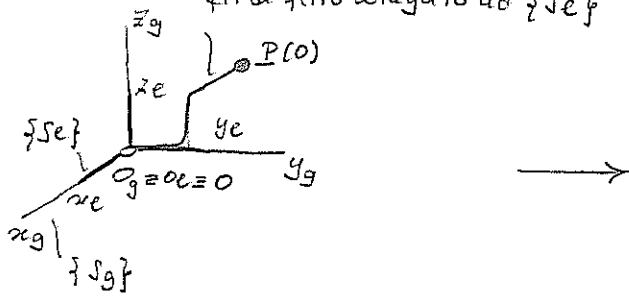
$$(\underline{I} - 2\underline{m} \underline{m}^T)(\underline{I} - 2\underline{m} \underline{m}^T) = \underline{I} - 4\underline{m} \underline{m}^T + 4(\underline{m} \underline{m}^T)^2$$

ma $\underline{m} \underline{m}^T$ è idempotente ovvero $\underline{m} \underline{m}^T = (\underline{m} \underline{m}^T)^k$, $k \in \mathbb{N}$

$$= \underline{I} - 4\underline{m} \underline{m}^T + 4\underline{m} \underline{m}^T = \underline{I} \quad \text{evid.}$$

$$\text{Passaggio anche così: } (\underline{m} \underline{m}^T)(\underline{m} \underline{m}^T) = \underline{m} (\underline{m}^T \underline{m}) \underline{m}^T = \underline{m} \underline{m}^T \quad \text{o/c}$$

Guardiamo adesso alla matrice di rotazione come ad un modo per esprimere una rotazione rigida fil di ferro collegato ad $\{Se\}$



$$\text{a } t=0 : \{Se(0)\} = \{Sg\}$$

$P \in \{Se\}$ (sempre)

$$[OP(0)]_g = [OP(0)]_{e(0)}$$

$$\text{a } t=\bar{t} \quad \{Se(\bar{t})\} \neq \{Sg\}$$

$P \in \{Se\}$ naturalmente

$OP(0)$ vettore iniziale

$OP(\bar{t})$ vettore finale (ruotato)

Ci chiediamo: che relazione c'è fra le componenti, sempre nella stessa $\{Sg\}$, di $OP(0)$ ed $OP(\bar{t})$?

Definisco $\underline{P} := OP$, da cui $\underline{P}(0) = OP(0)$, $\underline{P}(\bar{t}) = OP(\bar{t})$

Che relazione c'è fra $[\underline{P}(0)]_g$ e $[\underline{P}(\bar{t})]_g$?

Dato che $P \in \{Se\}$ allora $[\underline{P}(0)]_g = [\underline{P}(0)]_{e(0)} = [\underline{P}(0)]_{e(t)} \quad \forall t$ allora

$$(1) \quad \underline{P}(\bar{t}) = \underline{e}_e(\bar{t}) [\underline{P}(\bar{t})]_{e(\bar{t})} = \underline{e}_e(\bar{t}) [\underline{P}(0)]_g \quad \text{vers. componenti in } \{Se(\bar{t})\}$$

ma potrei esprimere anche con base + componenti in $\{Sg\}$, ora

$$(2) \quad \underline{P}(\bar{t}) = \underline{e}_g [\underline{P}(\bar{t})]_g$$

Eguagliando (1) a (2) si ottiene:

$$\underline{e}_e(\bar{t}) [\underline{P}(0)]_g = \underline{e}_g [\underline{P}(\bar{t})]_g, \quad \text{prevedibl. scalamente per } \underline{e}_g^T$$

$$[\underline{P}(\bar{t})]_g = \underline{e}_g^T \underline{e}_e(\bar{t}) [\underline{P}(0)]_g =: R_{ge}(\bar{t}) [\underline{P}(0)]_g$$

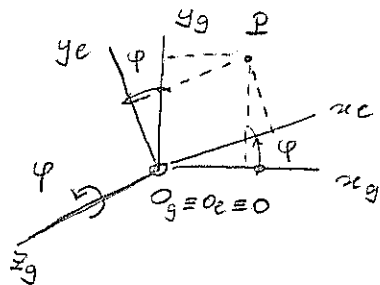
dove ci si è ricordati alla $R_{ge} := \underline{e}_g^T \underline{e}_e$

Dunque si è ottenuto il importante risultato che la matrice R_{ge} non gioca solo il ruolo di matrice del cambiamento di coordinate da $\{Se\}$ a $\{Sg\}$, ma anche il ruolo di matrice che ci dice come una rotazione da una configurazione $\{Sg\}$ (iniziate) ad una

configurazione $\{Se(\bar{t})\}$ (finale) cambia le componenti del vettore che viene ruotato n.b., nello stesso sistema di riferimento di partenza $\{Sg\}$.

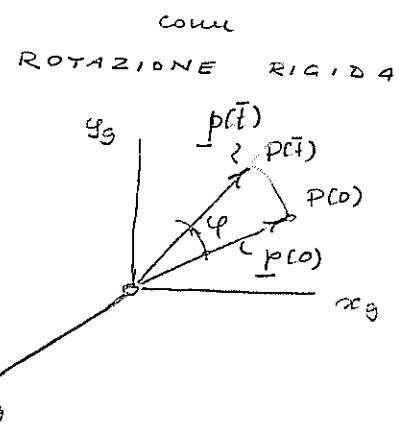
Dunque come

CAMBIAIMENTO DI COORDINATE



$$[\underline{P}]_g = R_{ge}(\varphi) [\underline{p}]_e$$

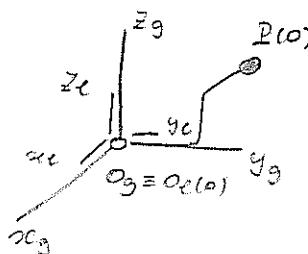
$$\text{con } R_{ge}(\varphi) = R_z(\varphi)$$



$$[\underline{p}(\bar{t})]_g = R_{ge}(\bar{t}) [\underline{p}(0)]_g$$

In questo caso il sistema di riferimento locale serve solo per "esprimere" la rotazione che porta il vettore dalla config. iniziale a quella finale. Le componenti sono ottenute nello stesso $\{Sg\}$ di base.

Solo shift origine come spostamento rigido

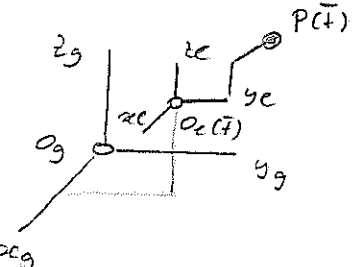
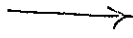


$$t=0 : O_e(0) \equiv O_g$$

$$\underline{l}_e(0) = \underline{z}_g$$

$$P \in \{Se\}$$

trasl. rigida



$$t=\bar{t} : O_e(\bar{t}) \neq O_g$$

$$\underline{l}_e(\bar{t}) = \underline{z}_g \quad (\text{non ruota})$$

$$P \in \{Se\}$$

Che relazione c'è fra le componenti, scritte in $\{Sg\}$, di $O_g P(0)$ e $O_g P(\bar{t})$?

Si definisce $O_g P(0) = \underline{p}_g(0)$; $O_g P(\bar{t}) = \underline{p}_g(\bar{t})$

Nella config. finale: $O_g P(\bar{t}) = O_g O_e(\bar{t}) + O_e(\bar{t}) P(\bar{t}) = O_g O_e(\bar{t}) + O_g P(0)$

$$\underline{p}_g(\bar{t}) = d_{ge}(\bar{t}) + \underline{p}_{e(0)} = d_{gl}(\bar{t}) + \underline{p}_g(0)$$

da cui evidentemente

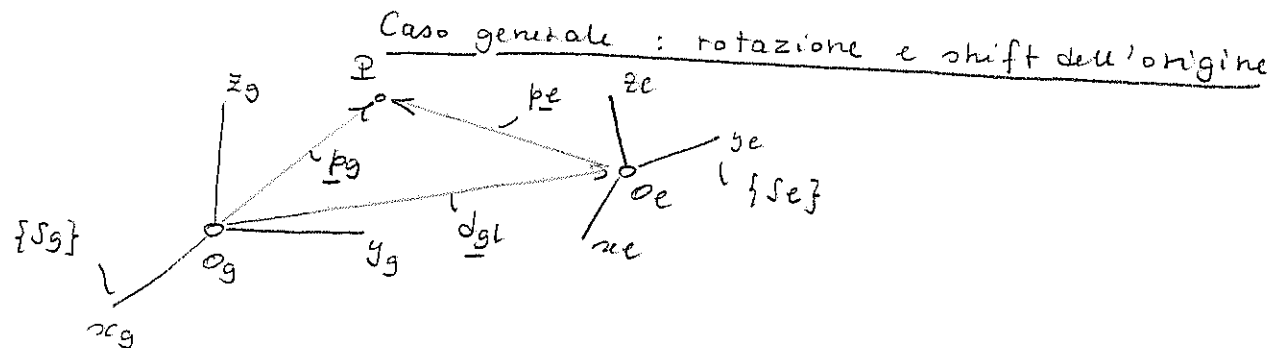
$$\underline{p}_g(\bar{t}) = d_{gl}(\bar{t}) + \underline{p}_g(0)$$

Se quindi ne prendo le componenti in $\{\underline{S}_g\}$ si ha:

$$[\underline{p}_g(\bar{t})]_g = [\underline{d}_{gl}(\bar{t})]_g + [\underline{p}_e(o)]_g$$

ora

$$\begin{bmatrix} \underline{x}_g(\bar{t}) \\ \underline{y}_g(\bar{t}) \\ \underline{z}_g(\bar{t}) \end{bmatrix} = \begin{bmatrix} \underline{d}_{gl_x}(\bar{t}) \\ \underline{d}_{gl_y}(\bar{t}) \\ \underline{d}_{gl_z}(\bar{t}) \end{bmatrix} + \begin{bmatrix} \underline{x}_g(o) \\ \underline{y}_g(o) \\ \underline{z}_g(o) \end{bmatrix}$$



Relazione fra vettori in forma "invariante"

$$\underline{o_g P} = \underline{o_g O_e} + \underline{O_e P}$$

$$\downarrow \quad \downarrow \quad \downarrow$$

$$\underline{p_g} \quad \underline{d_{gl}} \quad \underline{p_e}$$

$$\underline{p_g} = \underline{d_{gl}} + \underline{p_e}$$

Se ne prendo le componenti in $\{\underline{S}_g\}$ mediante l'operatore $[\cdot]_g$

$$[\underline{p}_g]_g = [\underline{d}_{gl}]_g + [\underline{p}_e]_g$$

$$\downarrow \quad \downarrow \quad \downarrow$$

$$\text{comodo} \quad \text{comodo} \quad \text{comodo} \rightarrow \text{si può usare relazioni niste vette shift origine da cui}$$

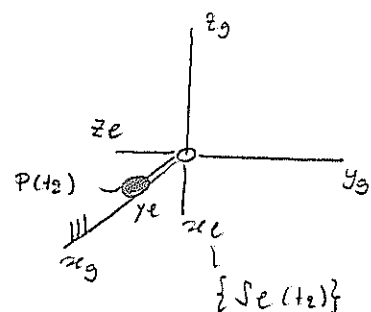
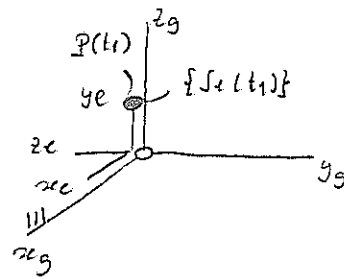
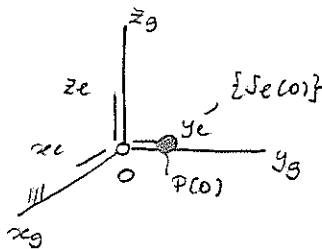
$$[\underline{p}_e]_g = R_{ge} [\underline{p}_e]_e$$

ottenendo infine:

$$[\underline{p}_g]_g = [\underline{d}_{gl}]_g + R_{gl} [\underline{p}_e]_e$$

Relazione di trasformazione
per le componenti di vettori
trazioni fra 2 sistemi di
rif. riferimento in config. generica

composizione di rotazioni in assi fissi



$t = 0 \rightarrow$ ruoto attorno a x_g di $\pi/2$ $\rightarrow t = t_1 \rightarrow$ ruoto a y_g di $\pi/2$ $\rightarrow t = t_2$

come visto prima $OPL(t) = p(t)$

Effettua la composizione di rotazioni in assi fissi

$$1^{\text{a}} \text{ rotazione} \quad [p(t_1)]_g = [R_{x(0)e(t_1)}]_g [p(0)]_g ;$$

$$2^{\text{a}} \text{ rotazione} \quad [p(t_2)]_g = [R_{e(t_1)e(t_2)}]_g [p(t_1)]_g ;$$

Dunque come unica trasformazione si ha:

$$[p(t_2)]_g = \underbrace{[R_{e(t_1)e(t_2)}]_g}_{\substack{\text{questa per} \\ \text{seconda}}} \underbrace{[R_{x(0)e(t_1)}]_g}_{\substack{\text{questa è avvenuta} \\ \text{per prima}}} [p(0)]_g ;$$

attenzione che queste hanno tutte bedice "g" quindi sono definite definite in assi fissi, ora in $\{S_g\}$.

Quindi, se espresse in assi fissi, le rotazioni

"si annientano" da destra verso sinistra; man mano che si fanno rotazioni successive le si aggiungono a formare ripliche, una a sinistra.

Nel caso di figura ad esempio

$$[R_{x(0)e(t_1)}]_g = R_x(\pi/2)$$

$$[R_{e(t_1)e(t_2)}]_g = R_y(\pi/2)$$

E al di definitiva si ha

$$[p(t_2)]_g = R_y(\pi/2) R_x(\pi/2) [p(0)]_g$$

Composizione di rotazioni in assi locali (o mobili)

(facciamo anche riferimento allo schema precedente)

Effettua rotazioni in assi locali (o mobili, o correnti) ora a quelle semplici per aggiornarli fino all'operazione in esame

$$+ \alpha \text{ rotazione } \left[\frac{\dot{p}(t_1)}{p(t_1)} \right]_g = \left[R_{\ell(0)} e(t_1) \right]_g \left[\frac{p(0)}{p(t_1)} \right]_g = \left[R_{\ell(0)} e(t_1) \right]_{e(0)} \left[\frac{p(0)}{e(0)} \right]_{e(0)}$$

questo poiché $\{J_{\text{econ}}\} = \{S_g\}$ ed anche $[k(\omega)]_g = [k(\omega)]_{J_{\text{econ}}}(\omega)$

Adesso la seconda rotazione voglio solamente in $\{Sect1\}$, ora nel frame locale

Effettuo queste procedure:

$$e. \text{ cambio coordinate} \quad [b(t_1)]_{\tau(t_1)} = [R_{\tau(t_1)} g] [b(t_1)]_g$$

b. scrivere la rotazione in coordinate $\{Pecm\}$ come:

$$[\underline{\mu}^{(t+2)}]_{e(t+1)} = [\underline{R}_{e(t+1), e(t+2)}]_{e(t+1)} [\underline{\mu}^{(t+1)}]_{e(t+1)}$$

C. Riporta le componenti di $\underline{p}(t_2)$ nel sistema di riferimento globale $\{\underline{S}_g\}$

$$[E^{(1_2)}]_q = [R_q e^{(1_1)}]_{\text{alg}} [E^{(1_2)}]_{e^{(1_1)}}$$

$$\Rightarrow da \cdot b = [R_{gl(t_1)}]_g [R_{c(t_1) \cdot c(t_2)}]_{c(t_1)} [p(t_1)]_{c(t_1)}$$

$$\Rightarrow da \cdot c = [R_{g\ell(1)}]_g [R_{\ell(1)\ell(2)}]_{\ell(1)} [R_{\ell(1)g}]_{\ell(1)} [p(1)]_g$$

$$\Rightarrow \text{de } 1^{\text{st}} \text{ tot.} = [\text{Rgectn}]_g [\text{Relmellz}]_{\text{elm}} [\text{Recing}]_{\text{rectn}} [\text{Relcolectn}]_g [\text{Eco}]_g$$

Stelle also (c) auf und $\ell(0) = g$; $\ell(1) = h_1$; $\ell(1_2) = h_2$

$$[E^{(t_2)}]_g = [R_{g\ell_1}]_g [R_{\ell_1 t_2}]_{\ell_1} \underbrace{[R_{\ell_1 g}]_{\ell_1} [R_{g\ell_1}]_g}_{H} [E^{(0)}]_g$$

$$[E(+\varepsilon)]_g = [R_{g\ell_1}]_g [R_{\ell_1 \ell_2}]_{\ell_1} [R_{\ell_2}]_g$$

Le matrici associate a rotazioni successive esperte in frame locali si compongono per post moltiplicazione, ovvero da sinistra a destra.

Riferendoci sempre alle fig. da pag. 41, in frame locali

$$[R_{g\ell_1}]_g = R_{z\ell}(\pi/2)$$

$$[R_{\ell_1\ell_2}]_{\ell_1} = R_z(-\pi/2)$$

da cui

$$[k^{(+2)}]_g = R_{z\ell}(\pi/2) R_z(-\pi/2) [k^{(0)}]_g$$

Nota bene che dalle relazioni precedenti si evince che

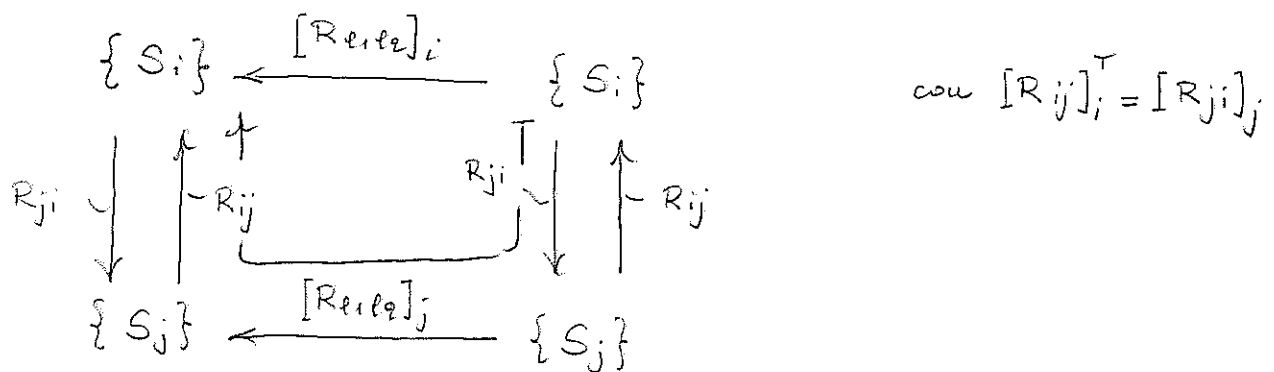
$$[R_{g\ell_1}]_g [R_{\ell_1\ell_2}]_{\ell_1} \stackrel{[R_{g\ell_1}]^T}{=} [R_{\ell_1\ell_2}]_g$$

che mi fornisce la legge di trasformazione (x congruità) di una matrice ortogonale di rotazione

In generale si ha che

$$\begin{array}{c} [R_{\ell_1\ell_2}]_i = [R_{ij}]_i [R_{\ell_1\ell_2}]_j [R_{ij}]_i^T \\ | \\ \text{forma della} \\ R_{\ell_1\ell_2} \text{ in } \{S_i\} \end{array} \quad \begin{array}{c} | \\ \text{forma di} \\ R_{\ell_1\ell_2} \text{ in } \{S_j\} \end{array} \quad \begin{array}{c} \perp \\ \text{trasposte della} \\ [R_{ij}]_i \\ \text{mat. del pass.} \\ \text{di coord. da} \\ \{S_j\} \text{ a } \{S_i\} \end{array}$$

Schematicamente:



III Percorso diretto: $[R_{\ell_1\ell_2}]_i$

III Percorso indiretto: $[R_{ij}]_i [R_{\ell_1\ell_2}]_j [R_{ij}]_i^T$

Casi di rotazione:

Regole di composizione:

- o) in assi fissi, omnia in $\{S_g\}$, ensemble da destra verso sinistra

$$\xleftarrow{\quad \cdot \cdot \cdot \quad} (R_{e_1 e_2})_g \quad (R_{e_2 e_3})_g$$

| |
awenute per e_2
awenute per e_3

h.b. $\{S_{e(0)}\} = \{S_g\}$

- o) in assi locali, omnia di volta in volta nello $\{S_{e(i)}\}$ corrente, ensemble da sinistra verso destra

$$(R_{e_1 e_2})_{e_0} \quad (R_{e_1 e_2})_{e_1} \quad (R_{e_2 e_3})_{e_2} \quad \dots$$

| | |
aw. per e_2 terza etc...

h.b. $\{S_{e(0)}\} = \{S_g\}$

Matrici di rotazione elementari

$\rightarrow R_{xz}(\theta) = [R_{g|x}]_g = \begin{bmatrix} 1 & 0 & 0 \\ 0 & \cos \theta & -\sin \theta \\ 0 & \sin \theta & \cos \theta \end{bmatrix}$

$\rightarrow R_y(\theta) = [R_{g|y}]_g = \begin{bmatrix} \cos \theta & 0 & \sin \theta \\ 0 & 1 & 0 \\ -\sin \theta & 0 & \cos \theta \end{bmatrix}$

$\rightarrow R_z(\theta) = [R_{g|z}]_g = \begin{bmatrix} \cos \theta & -\sin \theta & 0 \\ \sin \theta & \cos \theta & 0 \\ 0 & 0 & 1 \end{bmatrix}$

Parametrizzazioni di una rotazione

Come si fa a scrivere la matrice di rotazione mettendo ad una "rotazione rigida generale" in modo che la R (mat. di rotazione) verifichi:

$$\begin{aligned} \text{1)} R^T R = R R^T = I \\ \text{2)} \det(R) = 1 \end{aligned} \quad \left. \right\} R \in SO(3) \text{ (gruppo speciale ortogonale)}$$

Inoltre la R in generale è tali che: $R = \begin{bmatrix} r_{11} & r_{12} & r_{13} \\ r_{21} & r_{22} & r_{23} \\ r_{31} & r_{32} & r_{33} \end{bmatrix} = [r_1 \ r_2 \ r_3]$

con vincoli che:

$$R^T R = \begin{bmatrix} r_1^T \\ r_2^T \\ r_3^T \end{bmatrix} [r_1 \ r_2 \ r_3] = \begin{bmatrix} 1 & 0 & 0 \\ 0 & 1 & 0 \\ 0 & 0 & 1 \end{bmatrix}$$

$$(r_1 \times r_2) \cdot r_3 = 1$$

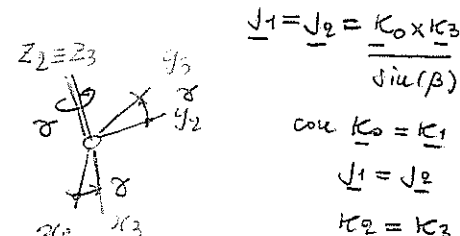
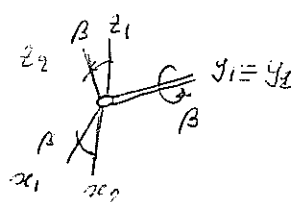
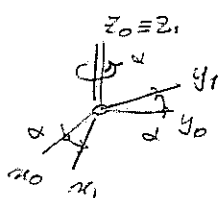
Se partiamo da due frame $\{S_g\}$ ed $\{S_f\}$ è naturale (e facile) definire $R_{gf} = \underline{e}_g^T \underline{e}_f$.

Tuttavia cerchiamo delle parametrizzazioni delle rotazioni (o di $SO(3)$) che ci permettano di definire una rotazione uscendo un numero minimo di parametri.

Per teorema di Euler sappiamo che è possibile passare da una terna ad un'altra con 3 rotazioni elementari. Queste parametrizzazioni sono dette minime perché usano un no. di par. minimo, ovvero solo 3.

Allora ad es. faccio 3 rotaz. successive attorno agli assi correnti.

Parametrizzazione di Euler ZYZ dove $z_0 \equiv z_3$ definisco $y_1 \equiv y_2$ come



$$\{S_0\} \xrightarrow{\underline{R}_z(\alpha)} \{S_1\} \xrightarrow{\underline{R}_y(\beta)} \{S_2\} \xrightarrow{\underline{R}_z(\gamma)} \{S_3\}$$

come spostamento

da $\{S_0\}$ a $\{S_3\}$

$$\text{Allora } \underline{R}_{ZYZ}(\alpha, \beta, \gamma) = \underline{R}_z(\alpha) \underline{R}_y(\beta) \underline{R}_z(\gamma) \quad (\overbrace{\hspace{1cm}}^{Z}, \overbrace{\hspace{1cm}}^{Y}, \overbrace{\hspace{1cm}}^{Z})$$

Ecco assolutamente pensando che siamo avvenuti rispetto agli assi locali e dunque da sinistra a destra.

Così come ho scelto ZYZ potevo scegliere altre sequenze: in quanti modi diversi? La regola è che due rotazioni consecutive (adiacenti) avvengano attorno ad assi distinti, altrimenti sono la stessa rotazione.

$R_{\text{xc}}(\alpha) R_{\text{xc}}(\beta) = R_{\text{xc}}(\alpha+\beta) = R_{\text{xc}}(\tilde{\alpha})$ conta come unica rotazione

Allora su $X \ Y \ Z$

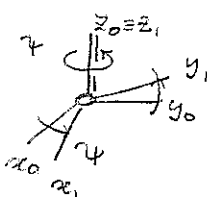
1^a scelta su Z amm. \Rightarrow ho scelto Z

2^a scelta su Y ass. $(o \times o \ Y) \Rightarrow$ ho scelto Y

3^a scelta su Z ass. $(o \times o \ Z) \Rightarrow$ ho scelto Z

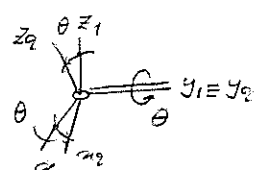
Allora ci sono $3 \cdot 2 \cdot 2 = 12$ parametri massimi combili con rotazioni elementari!

Se avessi scelto la sequenza ZYX o RPY (roll, pitch, yaw)



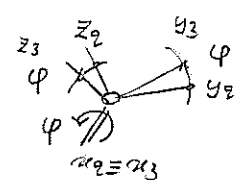
IMBARATA = YAW

Ψ



BECCHEGGIO = PITCH

θ



ROLLIO = ROLL

φ



Allora $R_{\text{RPY}}(\Psi, \theta, \varphi) = R_Z(\Psi) R_Y(\theta) R_X(\varphi)$
(ZYX o 321)

Vi parla di: angoli di Eulero quando la 1^a e la 3^a rotazioni sono =
= di Cardano quando tutte e 3 le rotazioni sono \neq .

Esempio: per Eulero ZYZ

$$R_{\text{ZYZ}}(\varphi, \theta, \psi) = R_Z(\varphi) R_Y(\theta) R_Z(\psi) =$$

$$= \begin{bmatrix} c_\varphi c_\theta c_\psi - s_\varphi s_\psi & -c_\varphi c_\theta s_\psi - s_\varphi c_\psi & c_\varphi s_\theta \\ s_\varphi c_\theta c_\psi + c_\varphi s_\psi & -s_\varphi c_\theta s_\psi + c_\varphi c_\psi & s_\varphi s_\theta \\ -s_\theta c_\psi & s_\theta s_\psi & c_\theta \end{bmatrix}$$

osservazione: che succede per $\theta = 0$?

$$\underbrace{R_{\text{xc}}(\varphi) R_{\text{xc}}(\theta) R_{\text{xc}}(\psi)}_{I} = \begin{bmatrix} c_\varphi c_\psi - s_\varphi s_\psi & -c_\varphi s_\psi - s_\varphi c_\psi & 0 \\ s_\varphi c_\psi + c_\varphi s_\psi & -s_\varphi s_\psi + c_\varphi c_\psi & 0 \\ 0 & 0 & 1 \end{bmatrix} = \begin{bmatrix} c_{\varphi+\psi} & -s_{\varphi+\psi} & 0 \\ s_{\varphi+\psi} & c_{\varphi+\psi} & 0 \\ 0 & 0 & 1 \end{bmatrix}$$

Questo è una sola $R_Z(\varphi+\psi)$. Dunque il pb è che non si deve risolvere

il problema inverso, ora data la R numerica (matrice con elementi numerici) e si devono trovare gli angoli della parametrizzazione, in questo caso si riesce solo a discriminare la somma ($\varphi + \psi$) ma non φ e ψ singolarmente.

In generale invece (ormai se $\theta \neq 0$) si considera di avere in ingresso una R così fatta

$$R = \begin{bmatrix} r_{11} & r_{12} & r_{13} \\ r_{21} & r_{22} & r_{23} \\ r_{31} & r_{32} & r_{33} \end{bmatrix}$$

si ha che: $r_{13} = c_\theta s_\theta$; $r_{23} = s_\theta c_\theta \rightarrow r_{13}^2 + r_{23}^2 = s_\theta^2 \neq 0$

Allora definendo $\theta \in (0, \pi)$ ($\sin \theta > 0$) allora

$$\varphi = \operatorname{atan} 2(r_{23}, r_{13})$$

$$\theta = \operatorname{atan} 2(\sqrt{r_{13}^2 + r_{23}^2}, r_{33})$$

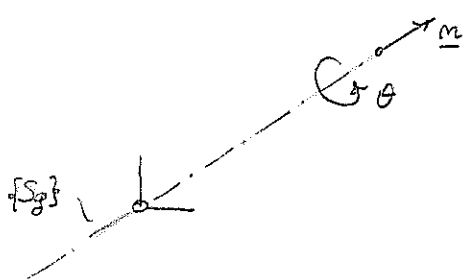
$$\psi = \operatorname{atan} 2(r_{32}, -r_{31})$$

dove $\operatorname{atan} 2(y, x)$ è fine arctan che fornisce angolo tenendo conto del quadrante in cui stiamo sulla base dei segni di x e y .

Considerazioni analoghe possono farci per tutte le altre parametrizzazioni, ad es. per RPY. La RPY ad es. ha singolarità per $\theta = \frac{\pi}{2}$, ovvero la condizione che fa in modo che l'asse z_2 sia allineato anche se con verso opposto all'asse z_1 , ormai rende l'ultima rotazione dipendente dalla prima e quindi non è una vera rotazione 3D ma solo 2D. In questo caso nel pb. inverso si riesce solo a discriminare $\psi - \varphi$ ma non ψ e φ singolarmente.

Altra via per scrivere una rotazione sull'asse-ANGOLI

Voglio esprimere la motrice di rotazione date le componenti del vettore dell'asse e l'angolo di cui ruota. Vettore \underline{m} indotto dalla rotta di \underline{m} sull'asse di rotazione

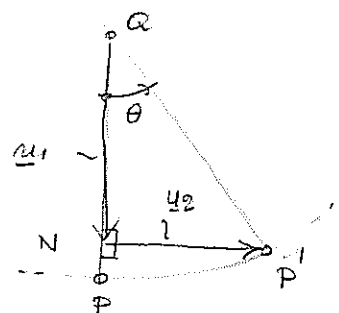
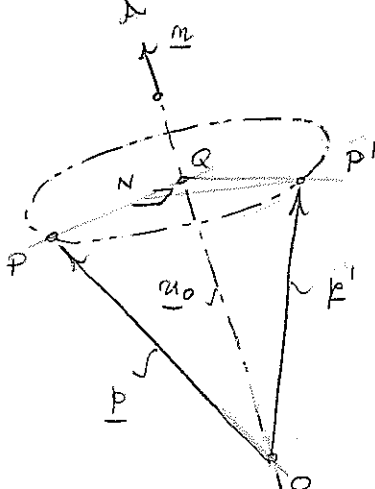


Formisco $[\underline{m}] = \underline{m}$ componente di \underline{m} in un qualche frame

θ angolo orientato

I parametri sono 4 $\underline{m} = \begin{bmatrix} m_x \\ m_y \\ m_z \end{bmatrix}$ e θ con vincolo che $m_x^2 + m_y^2 + m_z^2 = 1$ (vettore)

Via diretta per la costruzione



$$\text{allora: } OP = \underline{k} ; \quad OP' = \underline{k}'$$

|
vett. iniz. |
vettore ruotato

$$OP = \underline{m}_0 ; \quad QN = \underline{u}_1 ; \quad NP = \underline{u}_2$$

$$\underline{k}' = OP' = OP + QN + NP' = \underline{m}_0 + \underline{u}_1 + \underline{u}_2$$

dove

$$\underline{m}_0 = \underline{m} (\underline{m} \underline{m}^T) \underline{k} = (\underline{m} \underline{m}^T) \underline{k} \quad \text{con } \underline{m} \underline{m}^T \text{ mat di proiezione su asse } \underline{m}$$

$$QP = \underline{k} - (\underline{m} \underline{m}^T) \underline{k} = (\underline{I} - \underline{m} \underline{m}^T) \underline{k}$$

$$QN = QP \cos \theta = \underline{u}_1 (\underline{I} - \underline{m} \underline{m}^T) \underline{k} = \underline{u}_1$$

$$NP' = \underline{m} \times QP \sin \theta = \underline{m} \times (\underline{I} - \underline{m} \underline{m}^T) \underline{k} \sin \theta = \underline{m} \times \underline{k} \sin \theta = \underline{u}_2$$

$$\text{Poiché } \underline{m} \times (\underline{m} \underline{m}^T) \underline{k} = \underline{o} = \underbrace{(\underline{m} \times \underline{m})}_{\underline{o}} \underline{m}^T \underline{k} = \underline{o}$$

Queste operazioni sono poi da effettuare in componenti

Quindi la forma finale risulta

19

$$\underline{p}' = (\underline{n} \underline{n}^T) \underline{p} + (\mathbf{I} - \underline{n} \underline{n}^T) \cos \theta \underline{p} + \underline{\hat{n}} \times \underline{p} \sin \theta$$

Lavoriamo in componenti, ora applichiamo [o] e definiamo [\underline{p}] = \underline{p} etc.

Allora introduciamo

$$\underline{\hat{n}} = \begin{bmatrix} 0 & -n_z & n_y \\ n_z & 0 & -n_x \\ -n_y & n_x & 0 \end{bmatrix} = S(\underline{n}) \quad \text{con} \quad \underline{\hat{n}} = -(\underline{\hat{n}})^T \quad \text{antisimmetrica}$$

$$S(\underline{n}) = -S(\underline{n})^T \quad (\text{NICEW-SYMMETRIC})$$

Concetto perciò scrivere

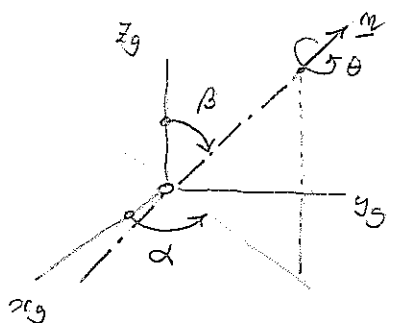
$$\underline{n} \times \underline{p} = \underline{\hat{n}} \underline{p} \quad \text{con} \quad \underline{\hat{n}} \quad \text{matrice}$$

$$\underline{p}' = [\underline{n} \underline{n}^T + (\mathbf{I} - \underline{n} \underline{n}^T) \cos \theta + \underline{\hat{n}} \sin \theta] \underline{p} =: R_n(\theta) \underline{p}$$

Dunque si è definita la matrice di rotazione in funzione dei parametri asse ($\underline{n} = [n_x \ n_y \ n_z]^T$) e angolo θ

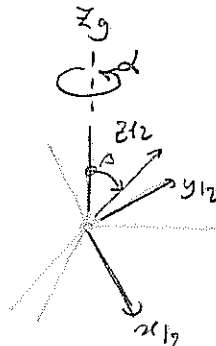
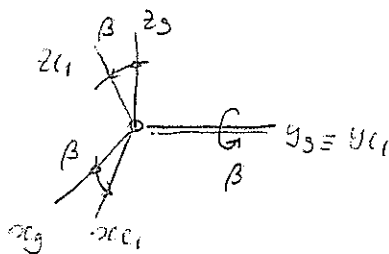
$$R_n(\theta) = \underbrace{\underline{n} \underline{n}^T + (\mathbf{I} - \underline{n} \underline{n}^T) \cos \theta}_{R_{n_S} \quad (\text{parte simm.})} + \underbrace{\underline{\hat{n}} \sin \theta}_{R_{n_{SS}} \quad (\text{parte antisimm.})}$$

Via indiretta per la costruzione di $R_n(\theta)$ da rotazioni elementari



Si potrebbe comodo scrivere $R_n(\theta)$ se avessi un sistema di rif. aux. che avesse un asse allineato con \underline{n} , così potrei esprimere come rotazione elementare

Allora introduco



concierto (\underline{p}_2 ha asse z allineato con asse onda)

$$\underline{k}_p = \underline{n}$$

Allora scrivo somponendo le assi fissi

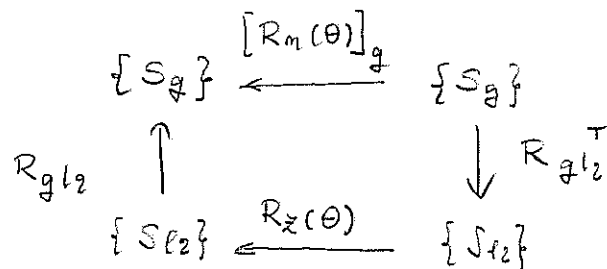
$$[R_{g\ell_2}]_g = [R_{\ell_1\ell_2}]_g [R_{g\ell_1}]_g = R_z(\alpha) R_y(\beta)$$

Le due figure vogliono descrivere la rotazione attorno ad m di θ vichino

$$[R_m(\theta)]_{\ell_2} = R_z(\theta)$$

Ma ricordandosi che

si ha:



$$[R_m(\theta)]_g = R_{g\ell_2} R_z(\theta) R_{\ell_2\ell_2}^T = R_z(\alpha) R_y(\beta) R_z(\theta) R_y(-\beta) R_z(-\alpha)$$

$$[R_{g\ell_2}]_g^T = R_y(\beta) R_z(\alpha)^T = R_y(-\beta) R_z(-\alpha)$$

Quindi si costruisce la $R_m(\theta)$ assemblando 5 matrici di rotazione elementari, per questo mi basta di via indiretta.

$$R_m(\theta) = R_z(\alpha) R_y(\beta) R_z(\theta) R_y(-\beta) R_z(-\alpha)$$

Noto bene che se si riconosce le componenti del vettore m in fine di $(\alpha, \beta, c_\theta, s_\theta)$ le espressioni di $R_m(\theta)$ da via diretta ed indiretta sono ormai tutte identiche

$$m_x = s_\beta c_\alpha$$

$$m_y = s_\beta s_\alpha$$

$$m_z = c_\beta$$

come da fig. a p. 19.

In particolare, se si vanno a scrivere esplicitamente gli elementi della matrice di rotazione da uno / angolo via diretta si ha:

$$R_m(\theta) = \begin{bmatrix} m_x^2 s_\theta + c_\theta & m_x m_y s_\theta - m_z f_\theta & m_x m_z f_\theta + m_y s_\theta \\ m_x m_y s_\theta + m_z f_\theta & m_y^2 s_\theta + c_\theta & m_y m_z f_\theta - m_x f_\theta \\ m_x m_z f_\theta - m_y s_\theta & m_y m_z f_\theta + m_x f_\theta & m_z^2 s_\theta + c_\theta \end{bmatrix}$$

dove $c_\theta = \cos \theta$, $s_\theta = \sin \theta$, $f_\theta = (1 - \cos \theta) = 1 - c_\theta$

Note bene che $R_m(\theta) = R_{(-m)}(-\theta)$, ovvero rotazioni sono a coppie.

Se ci interessa il problema inverso, ora data

$$R = \begin{bmatrix} r_{11} & r_{12} & r_{13} \\ r_{21} & r_{22} & r_{23} \\ r_{31} & r_{32} & r_{33} \end{bmatrix} \quad \text{determinate } m + \theta$$

per risolvere una forma angolo si deve che

$$\begin{aligned} r_{11} + r_{22} + r_{33} - 1 &= m^2 \cos \theta + \cos \theta + m_2^2 \cos \theta + \cos \theta + m_3^2 \cos \theta + \cos \theta - 1 = \\ &= 1 - \cos \theta + 3 \cos \theta - 1 = 2 \cos \theta \end{aligned}$$

Allora

$$\left\{ \begin{array}{l} \theta = \arccos \left(\frac{r_{11} + r_{22} + r_{33} - 1}{2} \right) \\ m = \frac{1}{2 \sin \theta} \begin{bmatrix} r_{32} - r_{23} \\ r_{13} - r_{31} \\ r_{21} - r_{12} \end{bmatrix} \end{array} \right.$$

che vale se $\sin \theta \neq 0$, infatti se $\theta = 0$
 m è indeterminato (arbitrario poiché sono
ruotate di angolo nullo attorno a qualsiasi
asse ed ha sempre vettore di partenza)

Quale radice ha questo risultato?

Deriva dalla decomposizione cartesiana di una matrice $A \in \mathbb{R}^{3 \times 3}$

$$A = \frac{1}{2}(A + A^T) + \frac{1}{2}(A - A^T) = A_S + A_{SS}$$

dove

$$A_S = \frac{1}{2}(A + A^T) \quad \text{parte simmetrica} ; \quad A_{SS} = \frac{1}{2}(A - A^T) \quad \text{parte antisimmetrica} \\ (\text{skew symmetric})$$

Invarianti lineari sono

-) Il $\text{vect}(A) = \alpha = (A_{SS})^\vee$, dove A_{SS} è tale che $A_{SS}\sigma = \alpha \times \sigma$
-) La $\text{tr}(A)$ che è uguale alla $\text{tr}(A_S)$

Calcolo esplicito per una $A = \begin{bmatrix} a_{11} & a_{12} & a_{13} \\ a_{21} & a_{22} & a_{23} \\ a_{31} & a_{32} & a_{33} \end{bmatrix}$

potta α

$$\alpha = (A_{SS})^\vee = \frac{1}{2} \begin{bmatrix} a_{22} - a_{23} \\ a_{13} - a_{31} \\ a_{21} - a_{12} \end{bmatrix} \quad e \quad \text{tr}(A) = \text{tr}(A_S) = a_{11} + a_{22} + a_{33} = a_{11}$$

Se stabiliscono la decomposizione Cartesiana alla forma delle matrice
di rotazione R in param. angolo si ottiene

$$R = \underbrace{m m^T}_{R_S} + \cos \theta (I - m m^T) + \underbrace{m \sin \theta}_{R_{SS}}$$

Gli invarianti lineari sono quelli costituiti da:

$$\circ) \text{vect}(R) = (R_{33})^V = (\hat{m} \sin \theta)^V = m \sin \theta$$

$$\text{ma vect}(R) = \frac{1}{2} \begin{bmatrix} r_{32} - r_{23} \\ r_{13} - r_{31} \\ r_{21} - r_{12} \end{bmatrix}$$

Perciò egualando si ha:

$$m = \frac{1}{2 \sin \theta} \begin{bmatrix} r_{32} - r_{23} \\ r_{13} - r_{31} \\ r_{21} - r_{12} \end{bmatrix}$$

$$\circ) \text{tr}(R) = \text{tr}(R_3) = \text{tr}(mm^T + \cos \theta (I - mm^T)) = \overbrace{m^T m}^1 + \cos \theta (3 - \overbrace{m^T m}^1) = \\ = 1 + \cos \theta (3 - 1) = 1 + 2 \cos \theta$$

dove si è usato: $\text{tr}(mm^T) = m^T m$ e $m^T m = 1$ poiché m è rettangolare

Perciò eguagliando si ha:

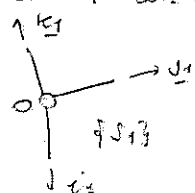
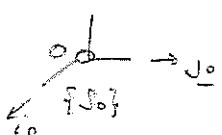
$$r_{33} + r_{23} + r_{32} = \text{tr}(R) = 1 + 2 \cos \theta \rightarrow \cos \theta = \frac{\text{tr}(R) - 1}{2}$$

Dai cui si calcola

$$\text{per } 1^\circ \quad \cos \theta = \frac{\text{tr}(R) - 1}{2} \rightarrow \theta$$

$$\text{per } 2^\circ \quad m = \frac{1}{2 \sin \theta} \begin{bmatrix} r_{32} - r_{23} \\ r_{13} - r_{31} \\ r_{21} - r_{12} \end{bmatrix} \rightarrow m$$

$\underline{x}_0 \uparrow$ Come si conosce il cosiddetto "teorema dei versini"



$$R_{01} = \underline{x}_0^T \underline{x}_1 = \begin{bmatrix} \underline{x}_0^T \\ \underline{x}_0^T \\ \underline{x}_0^T \end{bmatrix} [e_1 \quad e_2 \quad \underline{x}_1] =$$

$$\text{ovviamente } \text{tr}(R_{01}) = \underline{x}_0^T \underline{x}_1 + \underline{x}_0^T \underline{x}_1 + \underline{x}_0^T \underline{x}_1$$

$$\text{mentre si ha che } \underline{x}_0 \times \underline{x}_1 + \underline{x}_0 \times \underline{x}_1 + \underline{x}_0 \times \underline{x}_1 = 2 \underline{m} \sin \theta$$

$$\text{ora } \underline{x}_0^T \underline{x}_1 + \underline{x}_0^T \underline{x}_1 + \underline{x}_0^T \underline{x}_1 = [\underline{x}_0 \quad \underline{x}_0 \quad \underline{x}_0] \begin{bmatrix} \underline{x}_1 \\ \underline{x}_1 \\ \underline{x}_1 \end{bmatrix} = 2 \underline{m} \sin \theta$$

Ricorda che $m = [m_x \ m_y \ m_z]^T$ ha
 $\hat{m} = \begin{bmatrix} 0 & -n_z & n_y \\ n_z & 0 & -n_x \\ -n_y & n_x & 0 \end{bmatrix}$ = 11 operazioni

Inverso di $(\hat{m})^V = m$

Ovvero anche

$$\begin{bmatrix} 0 & a & b \\ -a & 0 & c \\ b & -c & 0 \end{bmatrix}^V = \begin{bmatrix} -c \\ b \\ -a \end{bmatrix}$$

Rappresentazione di una rotazione mediante

"quaternioni unitari"

16 ottobre 1843 da J.R. William Hamilton

inciso su ponte Brougham Bridge, Dublino
atto di vanda l'anno matematico

Un quaternione può essere considerato la generalizzazione di un numero complesso ed è definito come

$$Q = q_0 + q_1 \underline{i} + q_2 \underline{j} + q_3 \underline{k} = (q_0, \underline{q})$$

dove:

q_0 componente scalare e $\underline{q} = (q_1, q_2, q_3)$ la componente vettoriale

Si definisce un'algebra sui quaternioni definendo un "prodotto". che può essere definito in varie sostanze spesso "regole"

$$\underline{i} \cdot \underline{i} = \underline{j} \cdot \underline{j} = \underline{k} \cdot \underline{k} = \underline{i} \cdot \underline{j} \cdot \underline{k} = -1$$

$$\underline{i} \cdot \underline{j} = -\underline{j} \cdot \underline{i} = \underline{k}; \quad \underline{j} \cdot \underline{k} = -\underline{k} \cdot \underline{j} = \underline{i}; \quad \underline{k} \cdot \underline{i} = -\underline{i} \cdot \underline{k} = \underline{j}$$

Si definisce coniugato di un quaternione Q il quaternione

$$Q^* = (q_0, -\underline{q})$$

Il modulo o quadrato del quaternione verifica

$$\|Q\|^2 = Q \cdot Q^* = (q_0^2 + \underline{q}^T \underline{q}, 0) = (q_0^2 + q_1^2 + q_2^2 + q_3^2, 0)$$

L'inverso di un quaternione Q^{-1} ossia tale che $Q^{-1}Q = (1, 0) =$ identità nei quaternioni per operazione di moltiplicazione, è ottenibile come

$$Q^{-1} = \frac{Q^*}{\|Q\|^2}$$

Il prodotto fra due quaternioni $Q = (q_0, \underline{q})$ e $P = (p_0, \underline{p})$ può anche essere effettuato come

$$Q \cdot P = (q_0 p_0 - \underline{q}^T \underline{p}, q_0 \underline{p} + p_0 \underline{q} + \underline{q} \times \underline{p})$$

Tali regole eliminano necessità di usare le regole moltiplicative fornite precedentemente

Per quaternioni unitari $\|Q\|=1$, $Q^{-1} = Q^*$

Si può associare ad una rotazione una sua rappresentazione mediante q.u. Si parte dalla forma $R_m(\theta)$ ossia m, θ e si definisce il Q associato a tale rotazione come

$$Q_R = (\cos(\frac{\theta}{2}), \sin(\frac{\theta}{2}))$$

n.b. rotazione att. m di θ formula stessa q.u. di rot. att. a $-m$ di $-\theta$.

Viceversa, dato un q.u. $Q = (q_0, \underline{q})$ le rotazioni corrispondenti a

$R_m(\theta)$ con

$$\theta = \pm \arccos q_0, \quad \underline{m} = (\hat{\underline{m}})^\vee = \begin{cases} \frac{1}{\sin(\theta/2)} \hat{\underline{m}}, & \text{se } \theta \neq 0 \\ 0, & \text{altrimenti} \end{cases}$$

Inoltre date due matrici di rotazione R_1 ed R_2 ed i rispettivi quaternioni associati Q_{R_1} e Q_{R_2} si ha

$$Q_{R_1} \cdot Q_{R_2} = Q_{(R_1 R_2)}$$

ora il quaternione associato al prodotto $R_1 R_2$ è uguale al prodotto dei quaternioni. Questo fornisce un modo più efficiente computazionalmente per comporre rotazioni.

Inoltre per fare il prodotto fra 2 matrici di rotazione in $\mathbb{R}^{3 \times 3}$

$$\text{s. } R^{(c)} = R^{(a)} R^{(b)}$$

a livello di componenti si fa

$$R_{ij}^{(c)} = \underbrace{R_{ik}^{(a)}}_1 \underbrace{R_{kj}^{(b)}}_1 \quad \forall i, j \text{ ho 3 moltiplicazioni} \rightarrow i=1, \dots, 3 \quad j=1, \dots, 3 \text{ ed allora} \\ \text{dunque si ha} \quad \text{di fatto } 3^3 = 27 \text{ moltiplicazioni!}$$

Invece per compiere corrispondenze $Q^{(a)} \leftarrow Q^{(b)}$ per trovare $Q^{(c)}$ si fa

$$Q^{(a)} \cdot Q^{(b)} = \underbrace{(q_0^{(a)} q_0^{(b)})}_1 - \underbrace{q^{(a)\top} q^{(b)}}_3, \quad \underbrace{q_0^{(a)} q^{(b)}}_3 + \underbrace{q_0^{(b)} q^{(a)}}_3 + \underbrace{q^{(a)} \times q^{(b)}}_6$$

$$\text{in totale vengo } 1 + 3 + 6 = 10$$

Ho quindi dimostrato il custo computazionale!

Se voglio ricostruire la matrice di rotazione associata al quaternione posso scrivere la R in funzione di \underline{m} e θ ottenendo

$$R_m(\theta) = \underline{m} \underline{m}^\top + (\mathbf{I} - \underline{m} \underline{m}^\top) \cos \theta + \hat{\underline{m}} \sin \theta$$

ci sarebbe bisogno di sapere che per $\|\underline{m}\| = 1$ con $\underline{m} = (\hat{\underline{m}})^\vee$ valgono:

$$\hat{\underline{m}} = -\underline{m}^\top; \quad \hat{\underline{m}}^2 = -(\mathbf{I} - \underline{m} \underline{m}^\top); \quad \hat{\underline{m}}^3 = -\underline{m}$$

e ricorrendo a:

$$\underline{m}^{(2k+1)} = (-1)^k \underline{m}$$

$$\underline{m}^{(2k)} = (-1)^k (\mathbf{I} - \underline{m} \underline{m}^\top) \quad k \in \mathbb{Z}^+ \cup \{0\}$$

Allora

$$R_m(\theta) = \underbrace{I + \hat{\underline{n}}^2}_{\underline{n}\underline{n}^T} - \underbrace{\hat{\underline{n}}^2}_{(I-\underline{n}\underline{n}^T)} \cos \theta + \hat{\underline{n}} \sin \theta = I + \hat{\underline{n}} \sin \theta + \hat{\underline{n}}^2 (1 - \cos \theta)$$

ma dalle formule di p. 84 escudo

$$\begin{aligned} q_0 &= \cos\left(\frac{\theta}{2}\right) & \text{con } Q_R = (q_0, \underline{q}) = \left(\cos \frac{\theta}{2}, \underline{n} \sin \frac{\theta}{2}\right) \\ \underline{q} &= \underline{n} \sin\left(\frac{\theta}{2}\right) \end{aligned}$$

si operano le seguenti trasformazioni

$$\sin \theta = 2 \sin\left(\frac{\theta}{2}\right) \cos\left(\frac{\theta}{2}\right)$$

$$\cos \theta = \cos^2\left(\frac{\theta}{2}\right) - 1 = 1 - 2 \sin^2\left(\frac{\theta}{2}\right)$$

da cui

$$\begin{aligned} R_m(\theta) &= R(q_0, \underline{q}) = I + \left(\hat{\underline{n}} \left(2 \sin\left(\frac{\theta}{2}\right) \cos\left(\frac{\theta}{2}\right)\right) + \hat{\underline{n}}^2 \left(1 - 1 + 2 \sin^2\left(\frac{\theta}{2}\right)\right)\right) \\ &= I + 2 \hat{\underline{q}} \left(\cos\left(\frac{\theta}{2}\right) + \hat{\underline{q}}\right) = I + 2 \hat{\underline{q}} \left(q_0 I + \hat{\underline{q}}\right) \end{aligned}$$

Dunque ho scritto la matrice di rotazione in funzione delle componenti dei quaternioni. Tali componenti, ora (q_0, q_1, q_2, q_3) sono anche dette parametri di Eulero.

I quaternioni possono essere usati anche per effettuare direttamente operazioni di rotazione sui punti.

Ora voglio fare

$$\begin{matrix} [E(\bar{t})]_g \\ \downarrow \\ \begin{bmatrix} x(\bar{t}) \\ y(\bar{t}) \\ z(\bar{t}) \end{bmatrix} \end{matrix} = R_{ge} \begin{matrix} [p(0)]_g \\ \downarrow \\ \begin{bmatrix} x(0) \\ y(0) \\ z(0) \end{bmatrix} \end{matrix}$$

Le coordinate di un punto in forme di quaternione lo scrivo così:

$$P(0) = (0, (x(0), y(0), z(0)))$$

La rotazione sarà

$$Q_{ge} = (\cos\left(\frac{\theta}{2}\right), \underline{n} \sin\left(\frac{\theta}{2}\right)) = (q_0, \underline{q})$$

Il punto ruoterà sarà:

$$P(\bar{t}) = Q_{ge} P(0) \overset{*}{Q_{ge}} \text{conjugato}$$

I quaternioni sono utili per interpolazione fra pose.

Se P e Q sono orientazioni relative a 2 pose diverse, se definisco un parametro $t \in [0,1]$, posso definire l'orientazione fra P e Q associata al parametro t come

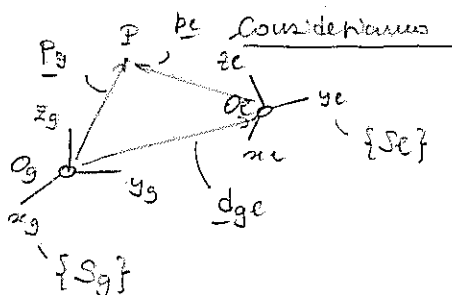
$$S(t; P, Q) = \frac{\sin\left[\frac{\theta}{2}(1-t)\right]P + \sin\left[\frac{\theta}{2}t\right]Q}{\sin\left(\frac{\theta}{2}\right)}$$

con θ costante

$$S(0; P, Q) = P \quad ; \quad S(1; P, Q) = Q$$

dove θ : angolo fra pose P e Q in parametrizzazione ang/angolo (M, θ)

Il campionamento uniforme in t fornisce pose equispaziate e pose intermedie più naturali che con altre parametrizzazioni come angoli di Eulero, etc.



chiusura del triangolo $Og \overset{\Delta}{Oe} P$

$$OgP = OgOe + OeP$$

definendo

$$\underline{Og} = \underline{pe} + \underline{dge}$$

Si può scrivere fra vettori in forma invariante

$$\boxed{\underline{Og} = \underline{pe} + \underline{dge}}$$

relazioni fra vettori in forma invariante

Inoltre:

notate bene che \underline{kg} e \underline{dge} sono comp. in $\{Sg\}$, \underline{pe} in $\{Se\}$

$$\therefore \underline{Og} = \underline{eg} \underline{kg} ; \quad \underline{pe} := \underline{eg} \underline{pe} ; \quad \underline{dge} := \underline{eg} \underline{dge}$$

$$\therefore ha \quad (\underline{kg} = [\underline{kg}]_g ; \quad \underline{pe} = [\underline{pe}]_e ; \quad \underline{dge} = [\underline{dge}]_g)$$

$$\underline{eg} \underline{kg} = \underline{eg} \underline{pe} + \underline{eg} \underline{dge} \quad \rightarrow \text{premultiplio per } \underline{eg}^T \text{ ottenendo:}$$

$$\underline{eg}^T \underline{eg} \underline{kg} = \underline{eg}^T \underline{eg} \underline{pe} + \underline{eg}^T \underline{eg} \underline{dge} \quad \text{ovvero..}$$

$$\boxed{\underline{kg} = Rge \underline{pe} + \underline{dge}}$$

relazione fra le componenti

Queste relazioni non è più lineare bensì affine, infatti si trasforma qualcosa di tipo $(\#)$ in $(dge + Rge \#)$
e linearità vorrebbe che

$$\perp(\alpha P) = \alpha L(P) \quad (\text{omogeneità})$$

$$L(P_1 + P_2) = L(P_1) + L(P_2) \quad (\text{additività})$$

Nel nostro schema invece ($d_{ge} = d$, $R_{ge} = R$)

$$\underline{L}(\alpha p) = d + R(\alpha p) = d + \alpha Rp \neq \alpha \underline{L}(p) = \alpha d + \alpha Rp$$

Si introducono pertanto le coordinate omogenee che consentono di recuperare la linearità.

Definizione di coordinate omogenee per vettori posizionali e vettori genetici

- \underline{p}_g componenti del vettore posizione \underline{p}_g in $\{S_g\}$.

esplicitamente
$$\begin{bmatrix} p_{gx} \\ p_{gy} \\ p_{gz} \end{bmatrix}$$

$\overline{\underline{p}_g}$ coordinate omogenee, $\overline{\underline{p}_g} = \begin{bmatrix} p_g \\ \vdots \\ 1 \end{bmatrix} \in \mathbb{R}^{4 \times 1}$

- \underline{v}_g componenti di un vettore genetico (velocità, accel., forza, mom., etc.) \underline{v}_g in $\{S_g\}$.

esplicitamente
$$\begin{bmatrix} v_{gx} \\ v_{gy} \\ v_{gz} \end{bmatrix}$$

$\overline{\underline{v}_g}$ coordinate omogenee, $\overline{\underline{v}_g} = \begin{bmatrix} v_g \\ \vdots \\ 0 \end{bmatrix} \in \mathbb{R}^{4 \times 1}$

Per un vettore \underline{v}_g lo shift dell'origine non ha nessuna influenza

In termini di componenti un vettore posizione cambia così

$$\underline{p}_g = R_{ge} \underline{p}_e + \underline{d}_{ge}$$

mentre per un vettore non di posizione le componenti cambiano così

$$\underline{v}_g = R_{ge} \underline{v}_e$$

Introduciamo la matrice omogenea

$$T_{ge} := \left[\begin{array}{c|c} R_{ge} & \underline{d}_{ge} \\ \hline \underline{o}^T & 1 \end{array} \right] \in \mathbb{R}^{4 \times 4}$$

dove $R_{ge} \in SO(3) \subset \mathbb{R}^{3 \times 3}$ matrice di rotazione $R_{ge} = \underline{e}_g^T \underline{e}_e$

$\underline{d}_{ge} = [\underline{d}_{ge}]_g \in \mathbb{R}^{3 \times 1}$ componenti del vettore traslazione dell'origine

Di rispetto ad \underline{o}_g , ora $\underline{d}_{ge} = \underline{o}_e - \underline{o}_g$

$$\underline{o}^T \in \mathbb{R}^{3 \times 3} \rightarrow [0 \ 0 \ 0]$$

$$1 \in \mathbb{R} \quad (\text{numero } 1)$$

Se scrivo

$$T_{ge} \bar{p}_e = \left[\begin{array}{c|c} R_{ge} & d_{ge} \\ \hline O^T & 1 \end{array} \right] \left[\begin{array}{c} p_e \\ 1 \end{array} \right] = \left[\begin{array}{c} R_{ge} p_e + d_{ge} \\ 1 \end{array} \right] = \left[\begin{array}{c} p_g \\ 1 \end{array} \right] = \bar{p}_g$$

dunque le prime tre componenti sono le coordinate in $\{\mathcal{S}_g\}$ a partire da quelle in $\{\mathcal{S}_e\}$. L'ultima componente vale 1.

Se la applico ad un vettore

$$T_{ge} \bar{v}_e = \left[\begin{array}{c|c} R_{ge} & d_{ge} \\ \hline O^T & 1 \end{array} \right] \left[\begin{array}{c} v_e \\ 0 \end{array} \right] = \left[\begin{array}{c} R_{ge} v_e \\ 0 \end{array} \right] = \bar{v}_g$$

Dunque un vettore generico rimane un vettore generico e le sue componenti cartesiane si modificano correttamente sotto l'effetto della traslazione che viene filtrata.

In questo modo la moltiplicazione delle coordinate omogenee del vettore p_g , ovvero \bar{p}_g , per la T_{gl} è sufficiente per effettuare il cambiamento di coordinate fra i frame $\{\mathcal{S}_e\}$ e $\{\mathcal{S}_g\}$ disposti genericamente l'uno rispetto all'altro.

Agorà

$$\bar{F}_g = T_{ge} \bar{p}_e$$

E per la trasformazione inversa? $\bar{p}_e = T_{ge}^{-1} \bar{F}_g = T_{eg} \bar{p}_g$
come è fatta T_{ge}^{-1} ?

$$\text{Partendo da } T = \left[\begin{array}{c|c} R & d \\ \hline O^T & 1 \end{array} \right]$$

$$T^{-1} : T^{-1} T = I_{4 \times 4} = \left[\begin{array}{c|c} I & 0 \\ \hline O^T & 1 \end{array} \right]$$

Chiamiamo

$$T^{-1} = \left[\begin{array}{c|c} X & Y \\ \hline O^T & 1 \end{array} \right] \quad \text{e insieme } T^{-1} T = \left[\begin{array}{c|c} X & Y \\ \hline O^T & 1 \end{array} \right] \left[\begin{array}{c|c} R & d \\ \hline O^T & 1 \end{array} \right] = \left[\begin{array}{c|c} I & 0 \\ \hline O^T & 1 \end{array} \right]$$

a blocchi:

$$\begin{cases} X R = I \rightarrow X = R^T & (\text{poiché } R \text{ è di } SO(3)) \\ X d + Y = 0 \rightarrow Y = -X d = -R^T d \end{cases}$$

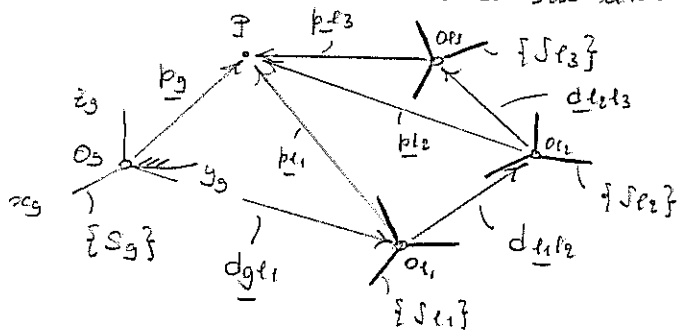
Agorà

$$T^{-1} = \left[\begin{array}{c|c} R^T & -R^T d \\ \hline O^T & 1 \end{array} \right]$$

facile da calcolare a blocchi.

A differenza di T non è ottagonale.

Vediamo la comodità del suo utilizzo



$$\underline{p}_{l1} = \underline{d}_{l1l2} + \underline{p}_{l2} \rightsquigarrow \text{in comp.} \rightsquigarrow \underline{p}_{l1} = R_{l1l2} \underline{p}_{l2} + \underline{d}_{l1l2}$$

$$\underline{p}_g = \underline{d}_{gl1} + \underline{p}_{l1} \rightsquigarrow \text{in comp.} \rightsquigarrow \underline{p}_g = R_{gl1} \underline{p}_{l1} + \underline{d}_{gl1}$$

Allora:

$$\begin{aligned} \underline{p}_g &= R_{gl1} (R_{l1l2} \underline{p}_{l2} + \underline{d}_{l1l2}) + \underline{d}_{gl1} = \\ &= \underbrace{R_{gl1} R_{l1l2}}_{R_{gl2}} \underline{p}_{l2} + \underbrace{R_{gl1} \underline{d}_{l1l2} + \underline{d}_{gl1}}_{\underline{d}_{gl2}} = R_{gl2} \underline{p}_{l2} + \underline{d}_{gl2} \end{aligned}$$

Usiamo le matrici omogenee

$$\overline{\underline{p}_{l1}} = T_{l1l2} \underline{p}_{l2}$$

$$\overline{\underline{p}_g} = T_{gl1} \overline{\underline{p}_{l1}}$$

Allora

$$\overline{\underline{p}_g} = T_{gl1} T_{l1l2} \overline{\underline{p}_{l2}} = T_{gl2} \overline{\underline{p}_{l2}}$$

$$T_{gl2} = \left[\begin{array}{c|c} R_{gl1} & \underline{d}_{gl1} \\ \hline 0^T & 1 \end{array} \right] \left[\begin{array}{c|c} R_{l1l2} & \underline{d}_{l1l2} \\ \hline 0^T & 1 \end{array} \right] = \left[\begin{array}{c|c} R_{gl1} R_{l1l2} & R_{gl1} \underline{d}_{l1l2} + \underline{d}_{gl1} \\ \hline 0^T & 1 \end{array} \right]$$

• Effettuando la moltiplicazione matriciale $T_{gl2} \overline{\underline{p}_{l2}}$, nelle prime 3 componenti si ha proprio $R_{gl2} \underline{p}_{l2} + \underline{d}_{gl2}$.

Dunque l'usuale prodotto fra matrici può essere usato per compiere rototraslazioni successive espresse da matrici omogenee.

Due altre matrici omogenee di rototraslazione hanno struttura di tipo

$$T = \left[\begin{array}{c|c} R & d \\ \hline 0^T & 1 \end{array} \right] \quad \text{con } R \in SO(3), d \in \mathbb{R}^3 \quad \text{n.b. } \det(R) = 1 \text{ sono isometriche}$$

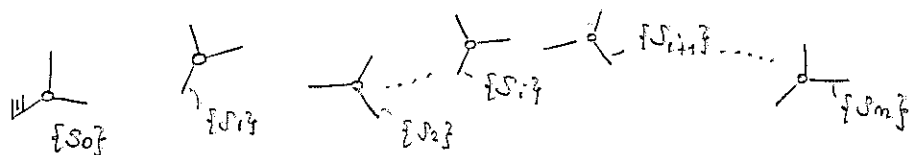
che preservano il verso di percorrenza (tutte le ragioni vengono moltiplicate in termine le ragioni)

Un'interessante interpretazione di una Tge come

$$T_{ge} = \begin{bmatrix} [ie]_g & [je]_g & [ke]_g & [dge]_g \end{bmatrix} = \begin{bmatrix} \bar{ie} & \bar{je} & \bar{ke} & \bar{dge} \end{bmatrix}$$

dove $\bar{ie}, \bar{je}, \bar{ke} \in \mathbb{R}^{4 \times 1}$ sono coordinate omogenee di vettori (che sono rettore di posizione, ed hanno perciò 0 appeso come ultima componente) mentre $\bar{dge} \in \mathbb{R}^{4 \times 1}$ sono coordinate di rettore posizione (ed infatti ha + appeso come ultima componente).

In questo modo se si ha una catena di sostanze di trasferimento arbitrariamente lunga si può scrivere la trasf omogenea complessiva combinando le trasformazioni suisse



Allora:

insieme da sin. a destra

•) in cui mobili (o corrett): $[T_{om}]_o = [T_{o1}]_o [T_{12}]_o \dots [T_{i,i+1}]_o \dots [T_{m-1,m}]_{m-1}$

•) in cui fissi: $[T_{om}]_o = [T_{m-1,m}]_o \dots [T_{i,i+1}]_o \dots [T_{12}]_o [T_{o1}]_o$

Questa dimostrazione è formalmente identica a quella vista per le rotazioni. Come fatto per le rotazioni si possono definire le trasformazioni omogenee elementari che sono date da

•) Rotazioni elementari $T_{Rx}(\theta) = \begin{bmatrix} R_x(\theta) & 0 \\ 0 & 1 \end{bmatrix}; T_{Ry}(\theta) = \begin{bmatrix} R_y(\theta) & 0 \\ 0 & 1 \end{bmatrix};$
 $T_{Rz}(\theta) = \begin{bmatrix} R_z(\theta) & 0 \\ 0 & 1 \end{bmatrix};$

•) Traslazioni elementari

$$T_{Tx}(a) = \begin{bmatrix} I & a \\ 0 & 1 \end{bmatrix}; \quad T_{Ty}(a) = \begin{bmatrix} I & 0 \\ 0 & 1 \end{bmatrix};$$

$$T_{Tz}(a) = \begin{bmatrix} I & 0 \\ 0 & 1 \end{bmatrix};$$

A Heuzione che se si fa:

$$T_{T_{\text{loc}}}(\alpha) T_{R_z(\theta)} = \begin{bmatrix} I & \begin{pmatrix} \alpha \\ 0 \end{pmatrix} \\ 0^T & 1 \end{bmatrix} \begin{bmatrix} R_z(\theta) & 0 \\ 0^T & 1 \end{bmatrix} = \begin{bmatrix} R_z(\theta) & \begin{pmatrix} \alpha \\ 0 \end{pmatrix} \\ 0^T & 1 \end{bmatrix} \quad (*)$$

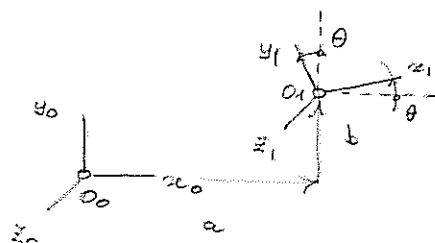
Si ottiene proprio la matrice omogenea "standard". Da cui il significato evidente di $\begin{pmatrix} \alpha \\ 0 \end{pmatrix}$ come traslazione su componenti nel sistema di \mathbf{f}_F fisso ed $R_z(\theta)$ come rot. nel sistema di \mathbf{f}_F fisso (in tale caso inconfondibile dal locale).

Invece se si fa:

$$T_{R_z(\theta)} T_{T_{\text{loc}}}(\alpha) = \begin{bmatrix} R_z(\theta) & 0 \\ 0^T & 1 \end{bmatrix} \begin{bmatrix} I & \begin{pmatrix} \alpha \\ 0 \end{pmatrix} \\ 0^T & 1 \end{bmatrix} = \begin{bmatrix} R_z(\theta) & R_z(\theta) \begin{pmatrix} \alpha \\ 0 \end{pmatrix} \\ 0^T & 1 \end{bmatrix} \quad (**)$$

Si sta facendo (in anni fse) prima una traslazione e poi una rotazione attorno all'origine del frame fisso.

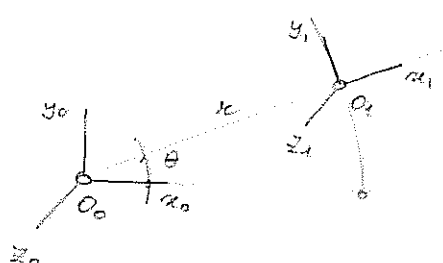
Dunque se ho una tototraslazione così:



comoda scrivere nel modo naturale (*)

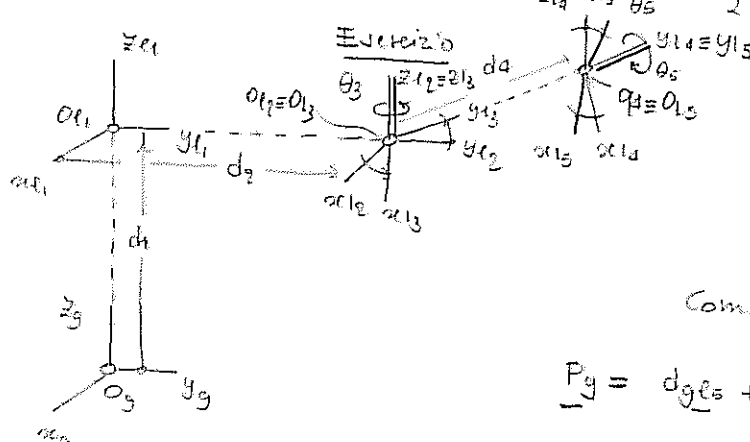
$$T_{O_1} = \begin{bmatrix} R_z(\theta) & \begin{pmatrix} \alpha \\ 0 \end{pmatrix} \\ 0^T & 1 \end{bmatrix}$$

Se invece mi ho una cosa:



comoda scrivere così: (***)

$$\begin{aligned} T_{O_1} &= \begin{bmatrix} R_z(\theta) & 0 \\ 0^T & 1 \end{bmatrix} \begin{bmatrix} I & \begin{pmatrix} \alpha \\ 0 \end{pmatrix} \\ 0^T & 1 \end{bmatrix} = \begin{bmatrix} R_z(\theta) & R_z(\theta) \begin{pmatrix} \alpha \\ 0 \end{pmatrix} \\ 0^T & 1 \end{bmatrix} \\ &= \begin{bmatrix} R_z(\theta) & \begin{pmatrix} r \cos \theta \\ r \sin \theta \\ 0 \end{pmatrix} \\ 0^T & 1 \end{bmatrix} \end{aligned}$$



Allora date le coordinate di un punto esterno in {fse}, quali sono le coordinate in {f_g}?

Componendo in anni concetti

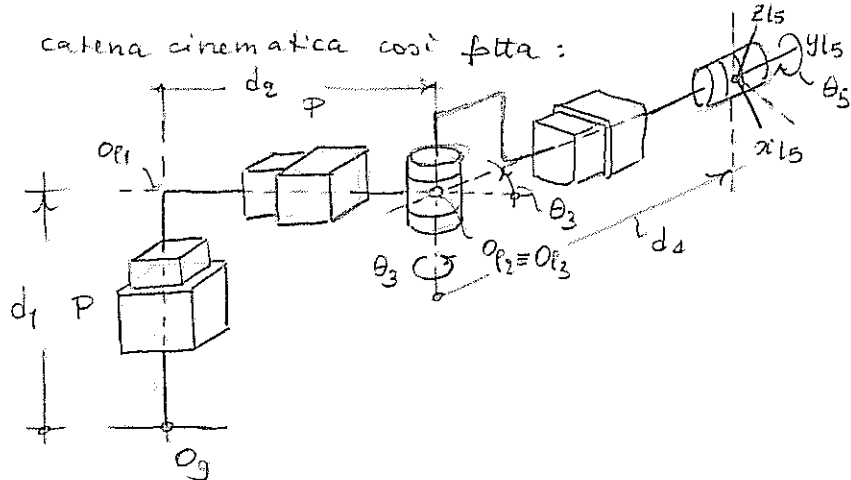
$$\underline{P_g} = d_{g6} + \underline{P_6} \rightarrow \underline{P_g} = T_{g6} \underline{P_6}$$

con

$$T_{g6} = T_{T_x(d_1)} T_{T_y(d_2)} T_{T_z(d_3)} T_{T_x(d_4)} T_{T_y(d_5)}$$

$$T_{g1} = T_{T_x(d_1)}; T_{g2} = T_{T_y(d_2)}; T_{g3} = T_{T_z(d_3)}; T_{g4} = T_{T_y(d_4)}; T_{g5} = T_{T_x(d_5)}$$

Effettuando compositioane in catene correnti abbiamo di fatto parametrizzato una catena cinematica così fatta:



Perché coordinate omogenee?

Quando partiamo da (x, y) cartesiani nel 2D a: $(x, y, 1)$ analoghe nel 3D stiamo dicendo che vediamo il piano cartesiano come il piano $W=1$ nello spazio Euclideo 3D.

Allora ad un punto (X, Y, W) basta

annociare la sua proiezione verso l'origine $(X/W, Y/W, 1)$ su piano $W=1$.

Se "fa fide" quello che succede su $W=1$, punto (X, Y, W) è

$$\lambda(X, Y, W) = (\lambda X, \lambda Y, \lambda W)$$

Sono per fattamente equivalenti

Allora la proprietà $(X, Y, W) \sim \lambda(X, Y, W)$ è **OMOGENEITÀ** e fornisce il nome alle coordinate.

$$\text{Da prima } x = \frac{X}{W}, \quad y = \frac{Y}{W}$$

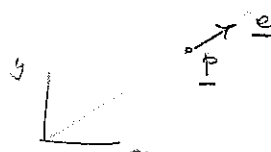
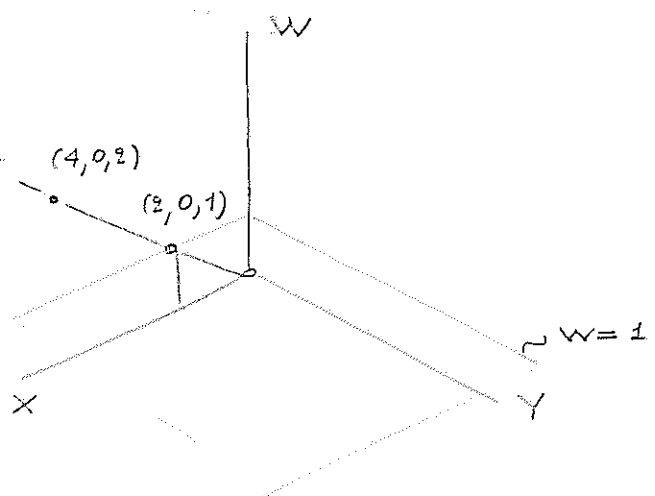
$$\text{Dunque da } \begin{pmatrix} x \\ y \end{pmatrix} \rightarrow \begin{pmatrix} x \\ y \\ 1 \end{pmatrix} \text{ ora } \underline{p} \rightarrow \begin{pmatrix} p_x \\ p_y \\ 1 \end{pmatrix} = \underline{\underline{p}}$$

$$\text{ma } \underline{p} = \underline{e} \parallel \underline{p} \parallel \text{ allora } \begin{bmatrix} \parallel \underline{p} \parallel \underline{e} \\ 1 \end{bmatrix} = \parallel \underline{p} \parallel \begin{bmatrix} \underline{e} \\ 1/\parallel \underline{p} \parallel \end{bmatrix}$$

Se adesso voglio esprimere un punto all'infinito posso scrivere

$$\lim_{\parallel \underline{p} \parallel \rightarrow \infty} \underline{\underline{p}} = \lim_{\parallel \underline{p} \parallel \rightarrow \infty} \begin{bmatrix} \underline{p} \\ 1 \end{bmatrix} = \lim_{\parallel \underline{p} \parallel \rightarrow \infty} \parallel \underline{p} \parallel \begin{bmatrix} \underline{e} \\ 1/\parallel \underline{p} \parallel \end{bmatrix} = \left(\lim_{\parallel \underline{p} \parallel \rightarrow \infty} \parallel \underline{p} \parallel \right) \begin{bmatrix} \underline{e} \\ 0 \end{bmatrix}$$

e si definisce $\underline{\underline{p}}_\infty = \begin{bmatrix} \underline{e} \\ 0 \end{bmatrix}$ dunque un punto all'infinito ha solo una direzione.

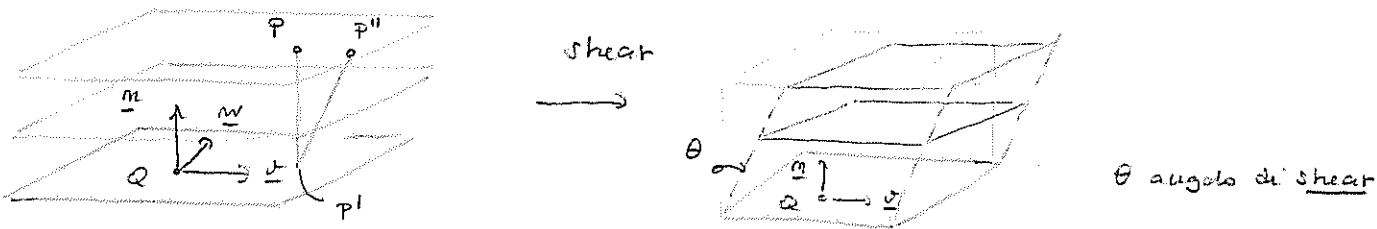


Qualche esempio di matrice omogenee generali (non solo rototraslazioni)

$$H = \left[\begin{array}{c|c} T_{3 \times 3} & d_{3 \times 1} \\ \hline f_{1 \times 3} & J_{1 \times 1} \end{array} \right]$$

Definisco una trasformazione di "shearing" (taglio) nello spazio in questo modo.

Preso un piano nello spazio identificato dal punto Q e dalla sua normale \underline{n} , pongo sul piano la direzione $\underline{\sigma}$ di shear in modo che lo spazio viene deformato così:



Allora un punto P viene mappato nel punto P'' :

$$\underline{QP} = \underline{d}_{qp} \text{ dunque } \underline{QP''} = \underline{QP} + \underline{PP''}$$

$$\text{allora se } \underline{OP} = \underline{p}$$

$$(\underline{n} + \underline{\sigma} \tan \theta) \underline{p}_n + \underline{\sigma} \underline{p}_\sigma + \underline{w} \underline{p}_w$$

$$\underline{p} = \underline{d}_{qp} + [\underline{n} \ \underline{\sigma} \ \underline{w}] \begin{bmatrix} \underline{p}_n \\ \underline{p}_\sigma \\ \underline{p}_w \end{bmatrix}$$

$$[\underline{n} \ \underline{\sigma} \ \underline{w}] \begin{bmatrix} \underline{p}_n \\ \underline{p}_\sigma \\ \underline{p}_w \end{bmatrix} = [\underline{n} \ \underline{\sigma} \ \underline{w}] \begin{bmatrix} \underline{p}_n \\ \underline{p}_\sigma \\ \underline{p}_w \end{bmatrix} + [\underline{n} \ \underline{\sigma} \ \underline{w}] \tan \theta \begin{bmatrix} \underline{p}_n \\ \underline{p}_\sigma \\ \underline{p}_w \end{bmatrix}$$

$$\underline{p}'' = \underline{d}_{qp} + [\underline{n} \ \underline{\sigma} \ \underline{w}] \begin{bmatrix} \underline{p}_n \\ \underline{p}_\sigma + \underline{p}_n \tan \theta \\ \underline{p}_w \end{bmatrix} =$$

$$= \underline{d}_{qp} + [\underline{n} + \underline{\sigma} \tan \theta \ \underline{\sigma} \ \underline{w}] \begin{bmatrix} \underline{p}_n \\ \underline{p}_\sigma \\ \underline{p}_w \end{bmatrix}$$

dunque la trasformazione di shear è data da:

$$\underline{p}'' - \underline{d}_{qp} = [\underline{n} + \underline{\sigma} \tan \theta \ \underline{\sigma} \ \underline{w}] \begin{bmatrix} \underline{p}_n \\ \underline{p}_\sigma \\ \underline{p}_w \end{bmatrix}$$

con $\begin{bmatrix} \underline{p}_n \\ \underline{p}_\sigma \\ \underline{p}_w \end{bmatrix}$ che sono coordinate in $\{f\}$

se poniamo \underline{p} per $\begin{bmatrix} \underline{n}^T \\ \underline{\sigma}^T \\ \underline{w}^T \end{bmatrix}$ ottengo

$$\begin{bmatrix} \underline{n}^T \\ \underline{\sigma}^T \\ \underline{w}^T \end{bmatrix} [\underline{n} + \underline{\sigma} \tan \theta \ \underline{\sigma} \ \underline{w}] = \begin{bmatrix} \underline{n}^T \underline{n} + \underline{n}^T \underline{\sigma} \tan \theta & \underline{n}^T \underline{\sigma} & \underline{n}^T \underline{w} \\ \underline{\sigma}^T \underline{n} + \underline{\sigma}^T \underline{\sigma} \tan \theta & \underline{\sigma}^T \underline{\sigma} & \underline{\sigma}^T \underline{w} \\ \underline{w}^T \underline{n} + \underline{w}^T \underline{\sigma} \tan \theta & \underline{w}^T \underline{\sigma} & \underline{w}^T \underline{w} \end{bmatrix} =$$

$$= \begin{bmatrix} 1 + \underline{\sigma}^T \underline{\sigma} & 0 & 0 \\ \tan \theta & 1 & 0 \\ 0 & 0 & 1 \end{bmatrix}$$

Il risultato della moltiplicazione di queste matrice per $\begin{bmatrix} \bar{p}_m \\ \bar{p}_x \\ \bar{p}_w \end{bmatrix}$ sono le nuove coordinate del vettore deformato che infatti vale

$$\begin{bmatrix} 1 & 0 & 0 \\ \tan\theta & 1 & 0 \\ 0 & 0 & 1 \end{bmatrix} \begin{bmatrix} \bar{p}_m \\ \bar{p}_x \\ \bar{p}_w \end{bmatrix} = \begin{bmatrix} \bar{p}_m \\ \bar{p}_m \tan\theta + \bar{p}_x \\ \bar{p}_w \end{bmatrix}$$

Queste trasformazioni nella forma attuale è descritta in {Se}. Se la voglio scrivere in {Jg} sono condannata {Jg} ad {Se} con rototraslaz. in coord omogenee

$$H = \begin{bmatrix} 1 & 0 & 0 & 0 \\ \tan\theta & 1 & 0 & 0 \\ 0 & 0 & 1 & 0 \\ 0 & 0 & 0 & 1 \end{bmatrix} ; \quad \bar{p}_e^{(\text{shear})} = \begin{bmatrix} \bar{p}_m \\ \bar{p}_m \tan\theta + \bar{p}_x \\ \bar{p}_w \\ 1 \end{bmatrix}; \quad \bar{p}_e = \begin{bmatrix} \bar{p}_m \\ \bar{p}_x \\ \bar{p}_w \\ 1 \end{bmatrix}$$

cosicché $\bar{p}_e^{(\text{shear})} = H \bar{p}_e$

$$\text{per } \bar{p}_g = T_{gl} \bar{p}_e ; \quad \bar{p}_e = T_{gl}^{-1} \bar{p}_g$$

Allora

$$\bar{p}_e^{(\text{shear})} = H T_{gl} \bar{p}_g$$

$$\bar{p}_g^{(\text{shear})} = T_{gl} \bar{p}_e^{(\text{shear})} = \underbrace{T_{gl} H T_{gl}^{-1}}_{\text{shear in } \{Jg\}} \bar{p}_g$$

shear in {Jg}

Struttura della matrice per passare (come sostanzialmente) da $\{S_0\}$ a $\{S_1\}$, ovvero (come cambiamento di coordinate) da $\{S_1\}$ a $\{S_0\}$.

$${}^0T_1 = T_{tr}(z, d) \cdot T_{rot}(z, \theta) \cdot T_{tr}(x, \alpha) \cdot T_{rot}(x, \alpha)$$

dove a, α, d, θ sono i parametri di Denavit-Hartenberg.

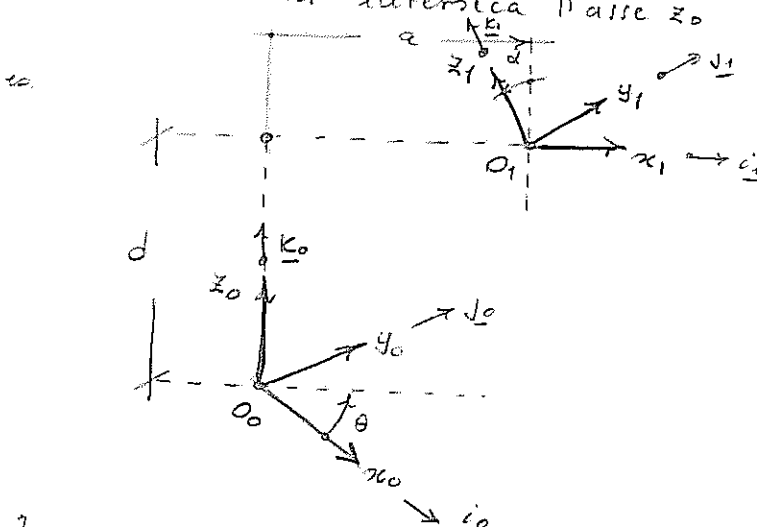
La forma generale della matrice di Denavit-Hartenberg risulta:

$${}^0T_1 = \left[\begin{array}{ccc|c} c\theta & -s\theta c\alpha & s\theta s\alpha & a c\alpha \\ s\theta & c\theta c\alpha & -c\theta s\alpha & a s\alpha \\ 0 & s\alpha & c\alpha & d \\ 0 & 0 & 0 & 1 \end{array} \right]$$

Dimostriamo che le seguenti condizioni DH1 e DH2 garantiscono che, date due franne $\{S_0\}$ ed $\{S_1\}$, esiste la trasformazione di D.-H. che ne espriime la posizione relativa.

(DH1) Il asse x_1 è ortogonale a z_0 .

(DH2) Il asse x_1 interseca l'asse z_0 .



In sostanza, data una matrice omogenea che rappresenta la rototraslazione fra un $\{S_0\}$ ed un $\{S_1\}$ che verificano (DH1) e (DH2), ora una 0A_1 numerica, allora è possibile trovare a, α, d e θ tali che:

$${}^0T_1(a, \alpha, d, \theta) = {}^0A_1$$

$$\left[\begin{array}{ccc|c} R_{11} & R_{12} & R_{13} & d \\ R_{21} & R_{22} & R_{23} & 0 \\ R_{31} & R_{32} & R_{33} & 0 \\ \hline 0 & 0 & 0 & 1 \end{array} \right]$$

Supponiamo che 0A_1 abbia la struttura classica ${}^0A_1 = \left[\begin{array}{c|c} {}^0R_1 & {}^0d_1 \\ \hline 0 & 1 \end{array} \right]$

Se la (DH1) è verificata ovvia se x_1 è ortogonale a z_0 , allora fatti versi z_1 e x_1 si ha ${}^{z_1}K_0 = 0$. Se esprimiamo questa condizione in $\{S_0\}$ allora $[{}^{z_1}T]_0 [K_0]_0 = 0$ risulta

$$[K_0]_0 = \left[\begin{array}{c} 0 \\ 0 \\ 1 \end{array} \right]; [{}^{z_1}]_0 = \left[\begin{array}{c} R_{11} \\ R_{21} \\ R_{31} \end{array} \right]$$

A hora questa condizione risulta soddisfattamente:

$$[\underline{\alpha}]_o^T [\underline{\kappa}_o]_o = [R_{11} \ R_{21} \ R_{31}] \begin{bmatrix} 0 \\ 0 \\ 1 \end{bmatrix} = R_{31} = 0$$

Questa condizione simblica che $R_{31} = 0$.

Inoltre la parte di rotazione di pendete solo dalle 2 rotazioni $R_x(\alpha)$ e $R_z(\theta)$, quindi la oR_1 in funzione dei parametri D-H. risulta

$${}^oR_1 = R_z(\theta) R_x(\alpha) = \begin{bmatrix} \cos \theta & -\sin \theta & 0 \\ \sin \theta & \cos \theta & 0 \\ 0 & 0 & 1 \end{bmatrix} \begin{bmatrix} 1 & 0 & 0 \\ 0 & \cos \alpha & -\sin \alpha \\ 0 & \sin \alpha & \cos \alpha \end{bmatrix} = \begin{bmatrix} \cos \theta & -\sin \theta \cos \alpha & \sin \theta \cos \alpha \\ \sin \theta & \cos \theta \cos \alpha & -\sin \alpha \cos \alpha \\ 0 & \sin \alpha & \cos \alpha \end{bmatrix}$$

Dunque dato che $R_{31} = 0$ la struttura torna con quella che esce da D-H.
Inoltre egualando

$$\begin{bmatrix} R_{11} \\ R_{21} \end{bmatrix} = \begin{bmatrix} \cos \theta \\ \sin \theta \end{bmatrix} \quad \text{e} \quad [R_{32} \ R_{33}] = [\sin \alpha \ \cos \alpha]$$

si determinano α e θ

Per delle assunzioni (DHE) ormai che z_0 interseca z_1 significa che per andare da o_0 ad o_1 sono viaggiate lungo z_0 e poi z_1 .
A hora

$$[{}^o\underline{d}_1]_o = d [\underline{\kappa}_o]_o + a [\underline{\alpha}]_o = d \begin{bmatrix} 0 \\ 0 \\ 1 \end{bmatrix} + a \begin{bmatrix} \cos \theta \\ \sin \theta \\ 0 \end{bmatrix} = \begin{bmatrix} a \cos \theta \\ a \sin \theta \\ d \end{bmatrix}$$

Dunque dall'egualante di

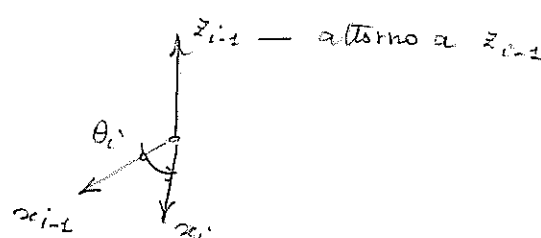
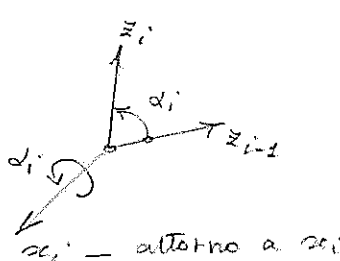
$$[{}^o\underline{d}_1]_o (3) = d \quad \text{e, data } \theta, \quad [{}^o\underline{d}_1]_o (1,2) = \begin{bmatrix} a \cos \theta \\ a \sin \theta \\ d \end{bmatrix}$$

determina d

determina a

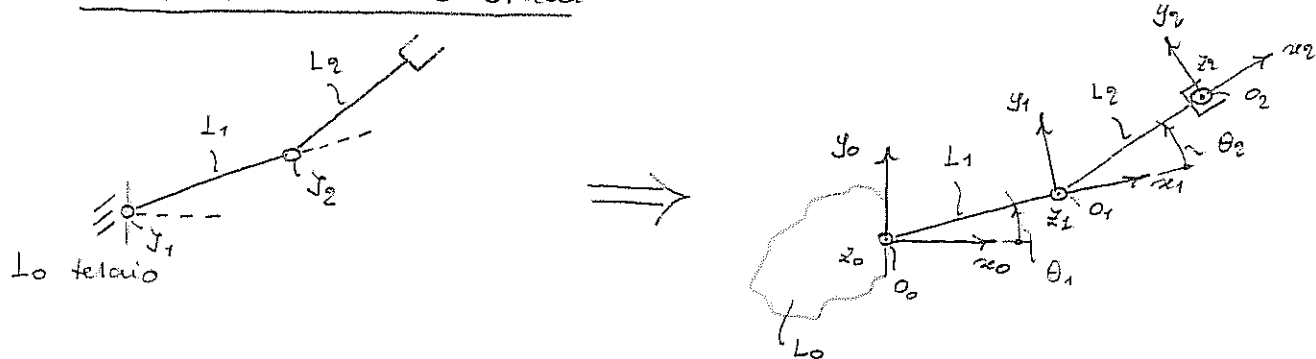
Dunque se sono verificate DHT e DHE allora $\exists ! {}^oT_1$ di D-H. tale che ${}^oA_1 = {}^oT_1$.

Ricordarsi che al passo generico:



Esempi di applicazione del D-H e commenti a casi indeterminati
e "patologici" per le regole di D-H.

Manip. planate a 2 bracci



Parametrizzazione D-H: L_i collega scambi y_i e x_{i+1} , numeri eletti da O_0, L_1, L_2 , numero giunto y_1 e y_2 .

Axi di J_1 è x_0 , axe di J_2 è x_1 .

Origine di $\{S_1\}$ la pongo sul piano del foglio ed axe x_1 è determinato.
Scelti veri' uscenti del foglio per axe x_0 e x_1 , allora y_1 è determinato da $\{S_1\}$ ferma levigata. Per $\{S_0\}$ ho solo x_0 , scelgo O_0 in modo che $d_1=0$ e axe x_0 in modo che sia definita la direzione ormoniale preferita, y_0 viene da conseguenze de $\{S_0\}$ levigata. Per $\{S_2\}$ non ho giunto a valle ma basta che scelga $x_2 \perp x_1$ e che interseca x_1 . Origine per fare in modo che de scelgo O_2 sullo stesso piano di O_0 e O_1 .

Allora la tabella di Denavit - Hartenberg risulta:

Link	a_i	d_i	θ_i	
$\{S_0\} \rightarrow \{S_1\}$	a_1	0	0	θ_1^*
$\{S_1\} \rightarrow \{S_2\}$	a_2	0	0	θ_2^*

Dunque a partire dalla forma generale

$$T_c = \begin{bmatrix} c\theta_i & -s\theta_i c\alpha_i & s\theta_i s\alpha_i & a_i c\alpha_i \\ s\theta_i & c\theta_i c\alpha_i & -c\theta_i s\alpha_i & a_i s\alpha_i \\ 0 & s\alpha_i & c\alpha_i & 0 \\ 0 & 0 & 0 & 1 \end{bmatrix}$$

si ottiene

$${}^0 T_1 = (\text{da } 1^{\text{a}} \text{ riga della tabella}) = \begin{bmatrix} c\theta_1 & -s\theta_1 & 0 & a_1 c\alpha_1 \\ s\theta_1 & c\theta_1 & 0 & a_1 s\alpha_1 \\ 0 & 0 & 1 & 0 \\ 0 & 0 & 0 & 1 \end{bmatrix}$$

$${}^1 T_2 = (\text{da } 2^{\text{a}} \text{ riga della tabella}) = \begin{bmatrix} c\theta_2 & -s\theta_2 & 0 & a_2 c\alpha_2 \\ s\theta_2 & c\theta_2 & 0 & a_2 s\alpha_2 \\ 0 & 0 & 1 & 0 \\ 0 & 0 & 0 & 1 \end{bmatrix}$$

conicatu:

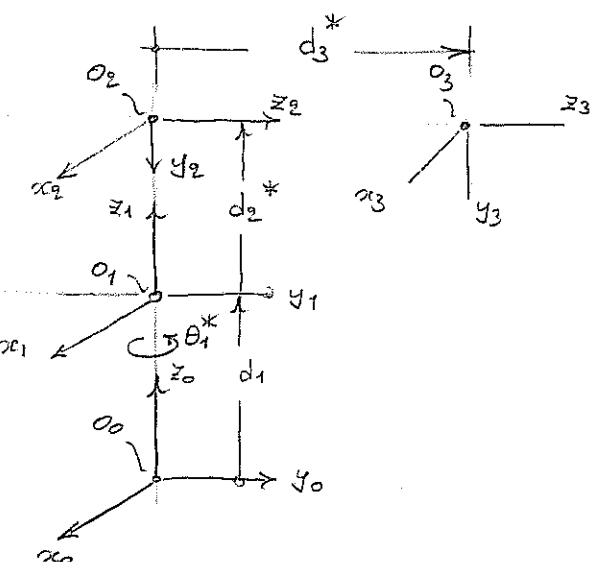
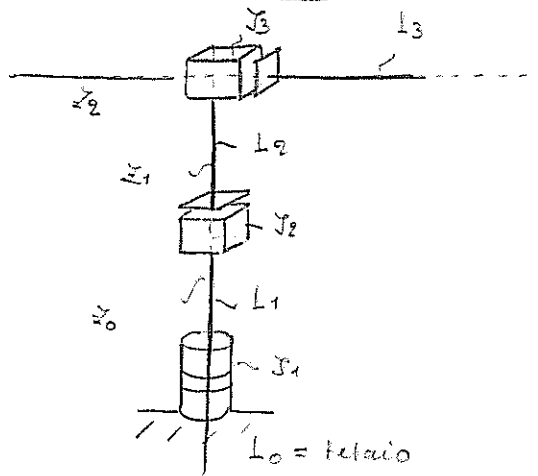
$${}^0T_2 = {}^0T_1 T_2 = \begin{bmatrix} c_{12} & -s_{12} & 0 & q_1 c_1 + q_2 c_{12} \\ s_{12} & c_{12} & 0 & q_1 s_1 + q_2 s_{12} \\ 0 & 0 & 1 & 0 \\ 0 & 0 & 0 & 1 \end{bmatrix}$$

con il bene moto significa delle porzioni di 0T_2

$${}^0T_2 = \left[\begin{array}{c|c} {}^0R_2 & {}^0d_2 \\ \hline {}^0T & 1 \end{array} \right]$$

Robot cilindrico a 3 bracci

Schemma cinemattico



In questo caso l'unica origine che possa fissare è O_2 . $z_0 \equiv z_1$ conicatu non riesce a fissare O_1 . Anche direzione degli assi si stabilizza con una certa dose di arbitrarietà. Fissato z_1 verso l'alto e z_2 verso destra fissa x_2 uscente conicatu da z_2 verso z_2 ruotando di $\alpha_2 = -\pi/2$ attorno a x_2 . Poi y_2 viene verso il basso. La O_1 la fissa all'altezza del "centro" delle coppie cinematiche fisse di assi Y_2 . Prendo z_1 verso l'alto e x_1 uscente conicatu e $x_1 \equiv x_2$. Poi metto O_0 sul basso "al suolo" con z_0 verso l'alto e x_0 allineato nella config. di riferimento con x_1 e y_0 da $\{y_0\}$ evogita.

Allora nel disegno identifico i vari parametri di Denavit-Hartenberg. Mentre per $\{y_0\}$ posso scegliere un frame traslato lungo z_2 di d_3^* .

Basta che x_3 sia ortog. ed inteso che z_2 .

Segue la tabella di Denavit-Hartenberg. per queste scelte di assi ed origini.

Link	a_i	α_i	d_i	θ_i
1	0	0	d_1	θ_1^*
2	0	$-\pi/2$	d_2^*	π
3	0	0	d_3^*	$-\pi/2$

Le singole matrici risultano (anche direttamente ad occhio)

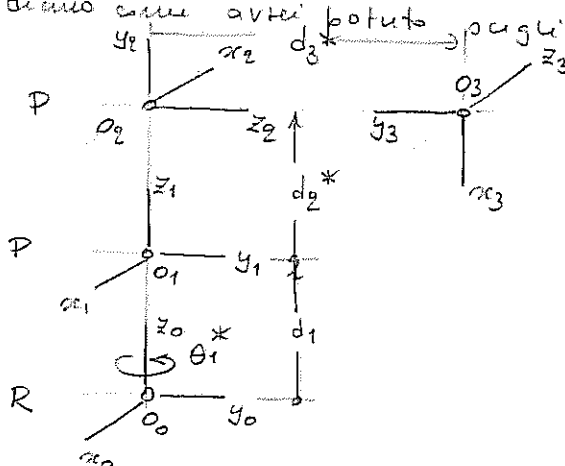
$${}^0T_1 = \begin{bmatrix} c\theta_1 & -s\theta_1 & 0 & 0 \\ s\theta_1 & c\theta_1 & 0 & 0 \\ 0 & 0 & 1 & d_1 \\ 0 & 0 & 0 & 0 \end{bmatrix};$$

$${}^1T_2 = \begin{bmatrix} 1 & 0 & 0 & 0 \\ 0 & 0 & 1 & 0 \\ 0 & -1 & 0 & d_2 \\ 0 & 0 & 0 & 1 \end{bmatrix};$$

$${}^2T_3 = \begin{bmatrix} 1 & 0 & 0 & 0 \\ 0 & 1 & 0 & 0 \\ 0 & 0 & 1 & d_3 \\ 0 & 0 & 0 & 1 \end{bmatrix};$$

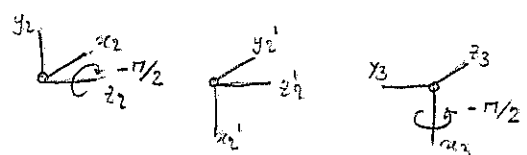
Allora ${}^0T_3 = {}^0T_1 {}^1T_2 {}^2T_3 = {}^0T_3 (\theta_3, d_2, d_3)$

Vediamo come avrei potuto scegliere i frame altrimenti



In questo caso, ora per queste scelte dei sistemi di riferimento, la tabella di DH risulta

Link	a_i	α_i	d_i	θ_i
1	0	0	d_1	θ_1^*
2	0	$\pi/2$	d_2^*	π
3	0	$-\pi/2$	d_3^*	$-\pi/2$



Vediamo allora un altro caso

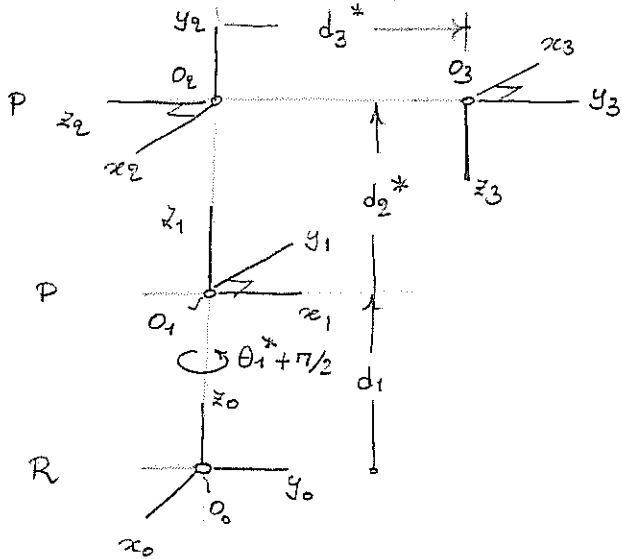
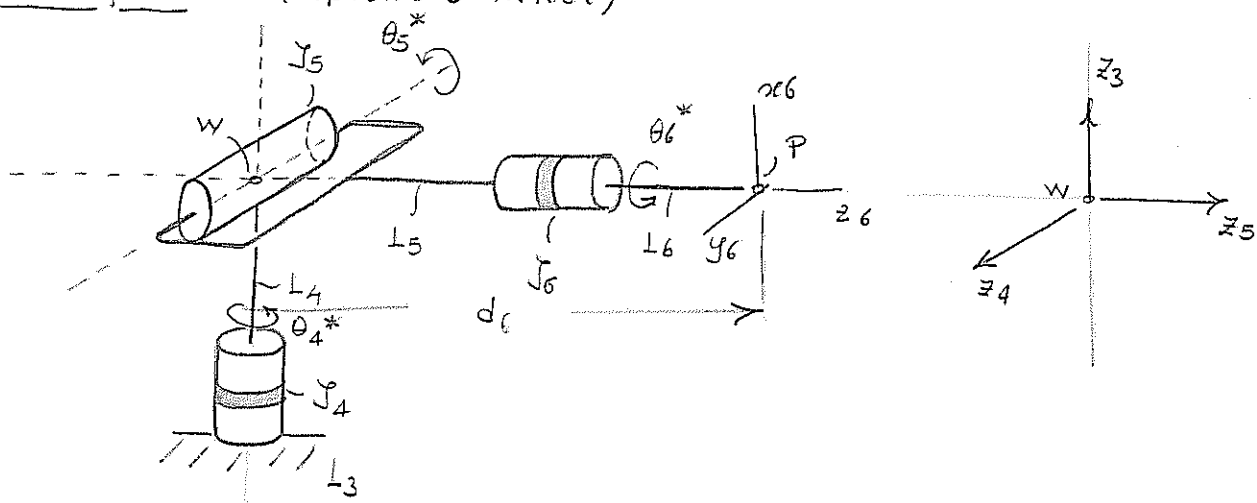


tabella di D-H in questo caso

$\text{L} \rightarrow \text{t}$	a_i	a'_i	d_i	θ_i
1	0	0	d_1^*	$\theta_1^* + \eta_2$
2	0	$\pi/2$	d_2^*	$-\eta/2$
3	0	$-\pi/3$	d_3^*	π

Altro caso

Polos sferico (Spherical moist)



hanno una lunghezza di base come L_3 come per formare a valle di tre mostri (di già) ed i kilit sono L_4 , L_5 ed L_6 .

Per gli anni siamo fissate z_3 , z_4 e z_5 come in figura (in modo arbitrario)

L'origine di $\{S_4\}$, ossia O_4 è in W (ossia nella intersezione fra
 S_1 e S_2)

$$(x_1 \in \mathbb{X}_4) \\ | x_2$$

३

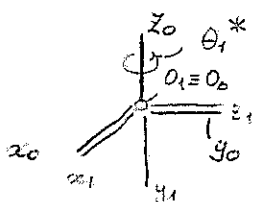
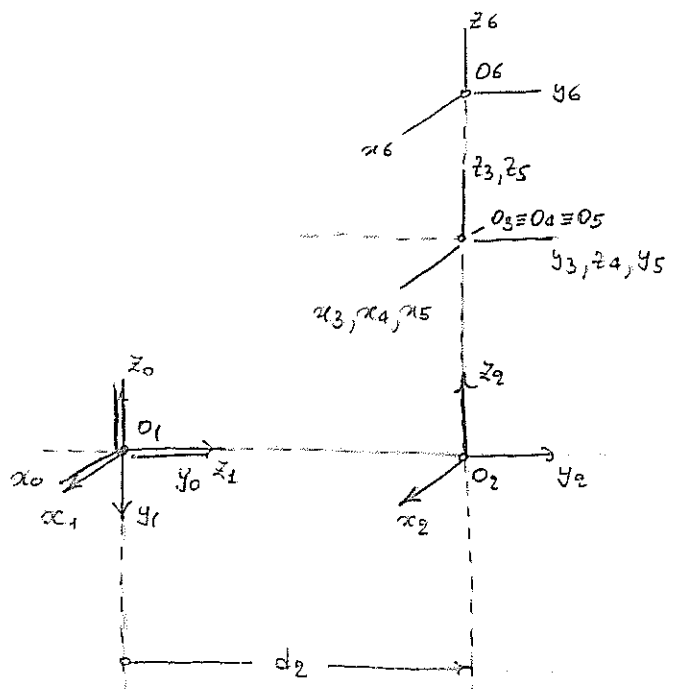
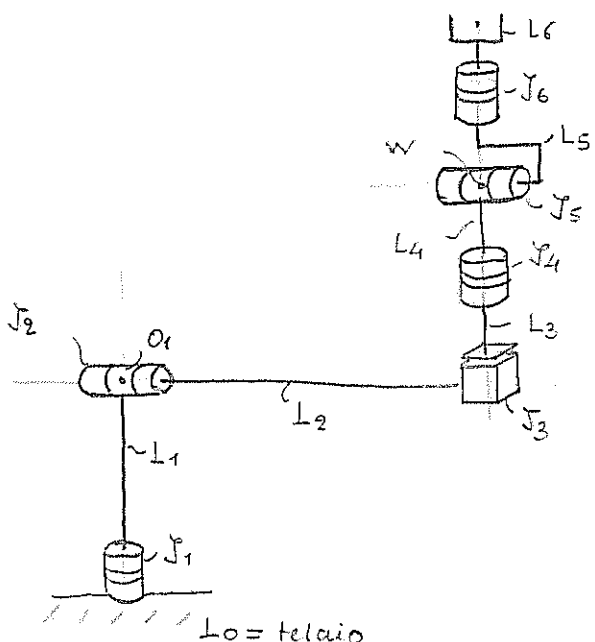
$$\theta_4^* \in \{ \delta_3 \}$$

Tabella di D-H per polso sferrac

Link	a_i	α_i	d_i	θ_i
$\{S_3\} \rightarrow \{S_4\}$	0	$-\pi/2$	0	θ_4^*
$\{S_4\} \rightarrow \{S_5\}$	0	$\pi/2$	0	$\theta_5^* - \pi/2$
$\{S_5\} \rightarrow \{S_6\}$	0	0	d_6	θ_6^*

← alterazione all'offset di angolo per $\theta_5^* = 0$,
ma al fatto che per $\theta_5^* = 0$ gli angoli θ_4 e θ_6
non sono allineati ed equivalgono.

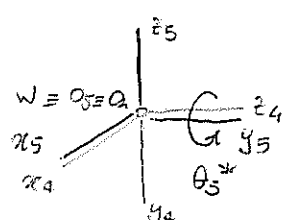
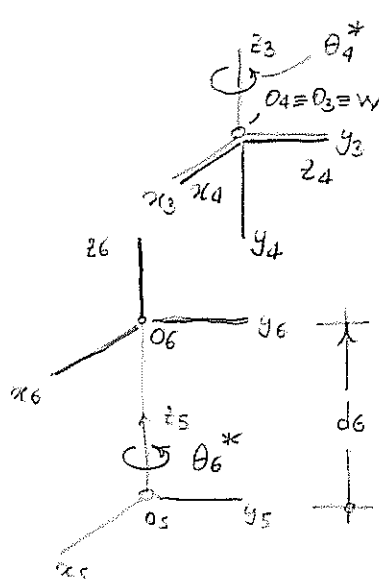
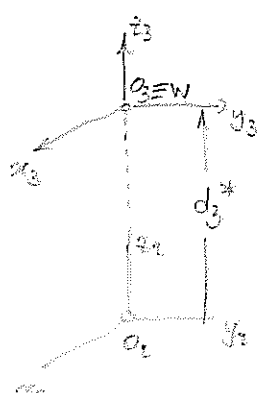
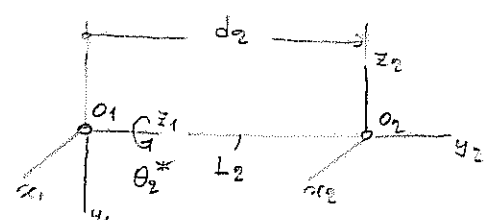
Manipolatore di Stanford



$\{S_0\}$ fisso, è telaio

$\{S_1\} \in L_1$, O_1 è Z_1 su x_1

dell'angolo giunto a valle (θ_1)



Allora per queste scelte dei sistemi di riferimento si ha:

Tabella di D-H per manipolatore di Stanford

Link	a_i	α_i	d_i	θ_i
$\{S_0\} \rightarrow \{S_1\}$	0	$-\pi/2$	0	θ_1^*
$\{S_1\} \rightarrow \{S_2\}$	0	$\pi/2$	d_2	θ_2^*
$\{S_2\} \rightarrow \{S_3\}$	0	0	d_3^*	0
$\{S_3\} \rightarrow \{S_4\}$	0	$-\pi/2$	0	θ_4^*
$\{S_4\} \rightarrow \{S_5\}$	0	$\pi/2$	0	θ_5^*
$\{S_5\} \rightarrow \{S_6\}$	0	0	d_6	θ_6^*

dunque la trasformazione completa risulta

$${}^0T_6(\theta_1, \theta_2, d_3, \theta_4, \theta_5, \theta_6) = {}^0T_1 {}^1T_2 {}^2T_3 {}^3T_4 {}^4T_5 {}^5T_6.$$

"Rules of thumb" per fixate frame di Denavit - Hartenberg ed estrarre i parametri da mettere in tabella.

- 1) Fissare z_{i-1} come assi dei giunti J_i (z_0 è ass di J_1)
- 2) Fissare α_i in modo che sia possibile sovrapporre z_{i-1} a z_i ruotando su α_i attorno a z_i .
- 3) Fare attenzione al fatto che se $\theta_i = 0$, $\alpha_{i-1} = \alpha_i$
- 4) d_i è la componente di $O_{i-1}O_i$ lungo z_{i-1}
 α_i è la componente di $O_{i-1}O_i$ lungo z_i